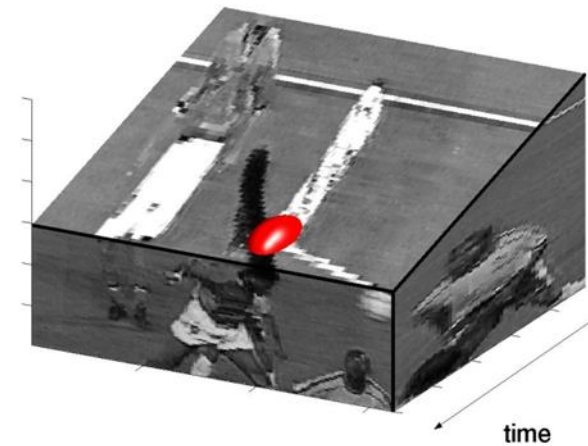
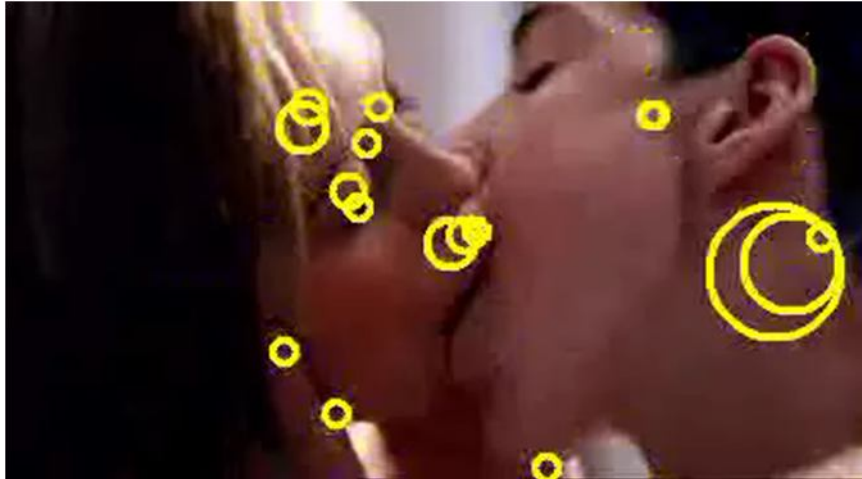
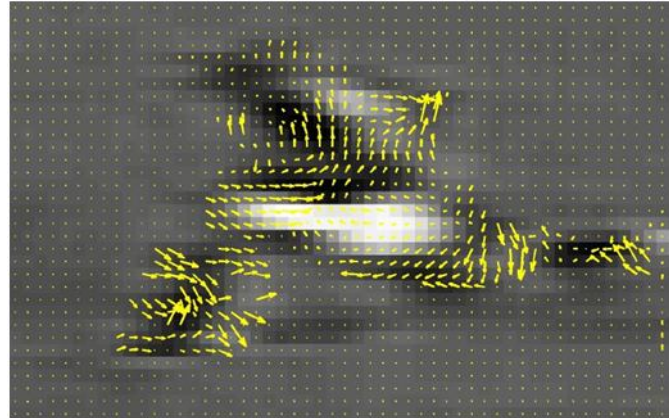
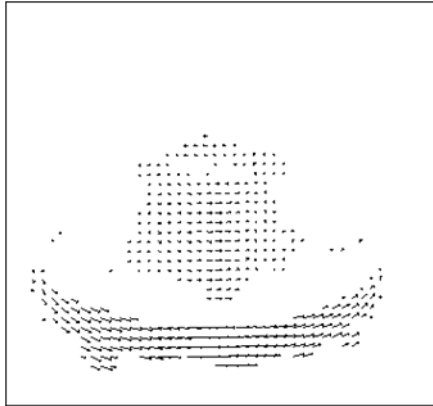




Распознавание действий в видео



Many slides adapted from Rick Szeliski, Alexei Efros and Ivan Laptev



Общая информация

Microsoft
Research

Этот курс
подготовлен и
читается при
поддержке

Microsoft
Research

- Страница курса

<http://courses.graphicon.ru/main/vision>



Распознавание действий

- Огромное количество видеороликов
- Действия (action) людей – главные события в кино, новостях, домашнем видео, видеонаблюдении

BBC Motion Gallery



150,000 uploads every day



Для чего может пригодиться:

- Навигация по контенту
 - *Перемотка до следующей важной сцены (пр. гола)*
- Поиск видео
 - Найти сцену «Обама пожимает руку Медведеву»
- Социальные науки
 - *Влияние сцен курения в кино на подрастающее поколение*



Действия человека

Определение 1:

- Физическое движение тела человека



KTH action dataset

Определение 2

- Взаимодействие с окружением с определенной целью
 - *Одно и то же движение имеет разный смысл в зависимости от окружения*





Распознавание действий

“стабильные
по виду”
объекты



“атомарные
действия



car exit



phoning



smoking



hand shaking

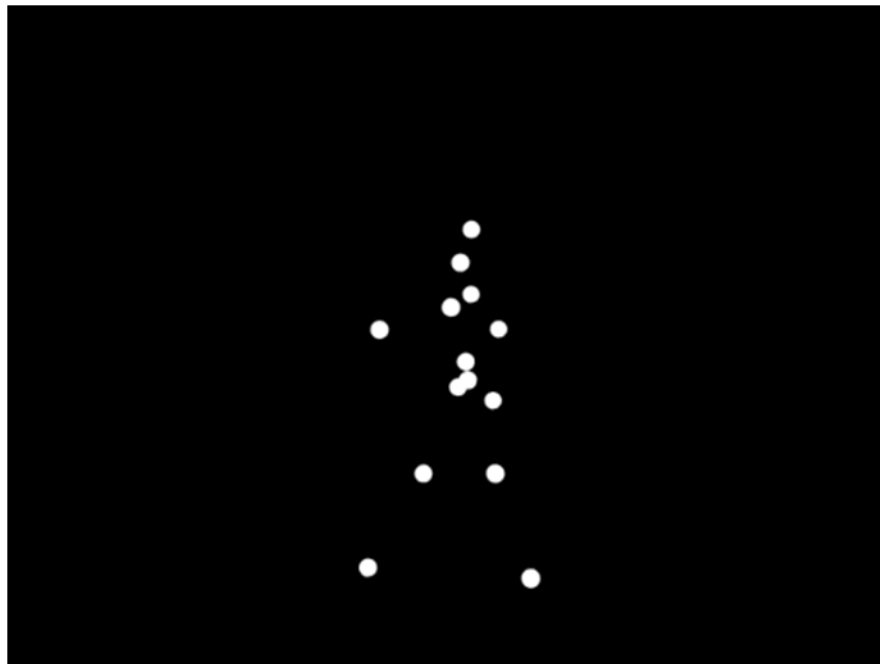


drinking

- Человек может некоторые действия распознать по статичному изображению
- Много сложностей:
 - Все обычные сложности при распознавании
 - Некоторые действия не возможно определить по одному кадру
 - Для описания действия нужно распознавать несколько предметов и их взаимное отношение



Движение

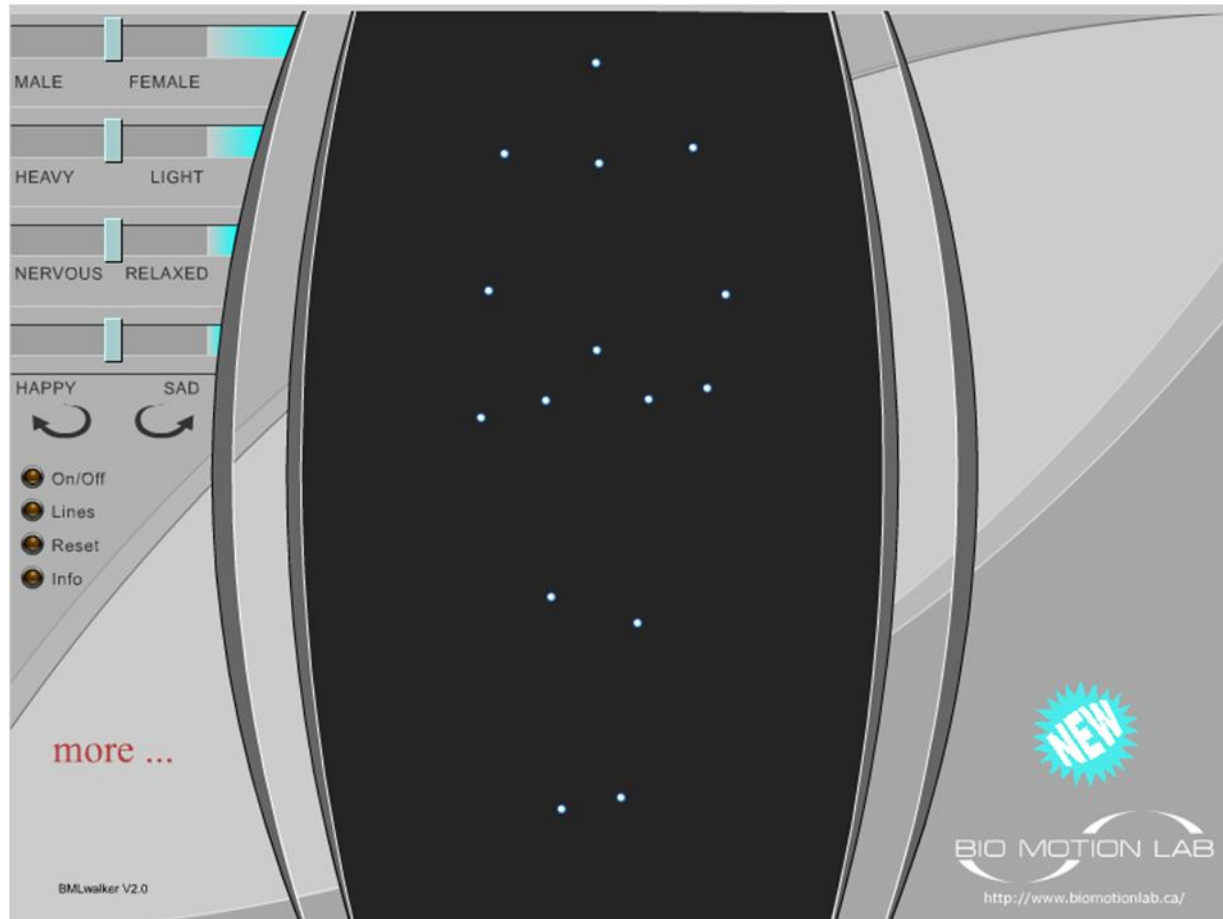


Что показано в видео?

- Движение само по себе является мощной визуальной подсказкой
- Суть многих действий именно в динамике
- Иногда достаточно отследить движение отдельных точек, чтобы распознать событие



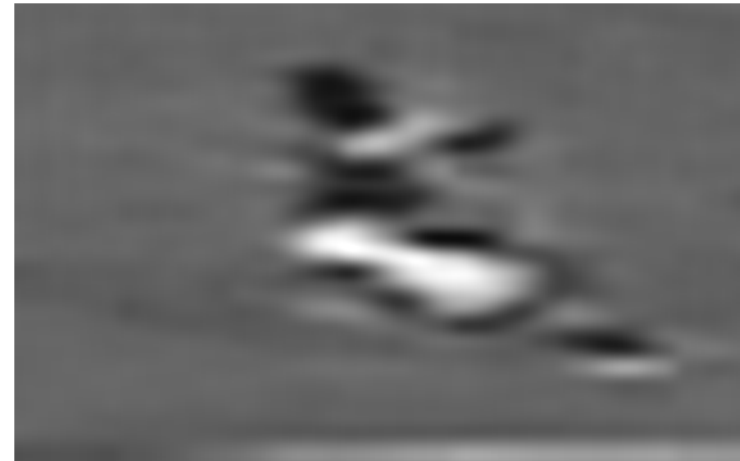
Распознавание по движению



<http://www.biomotionlab.ca/Demos/BMLwalker.html>



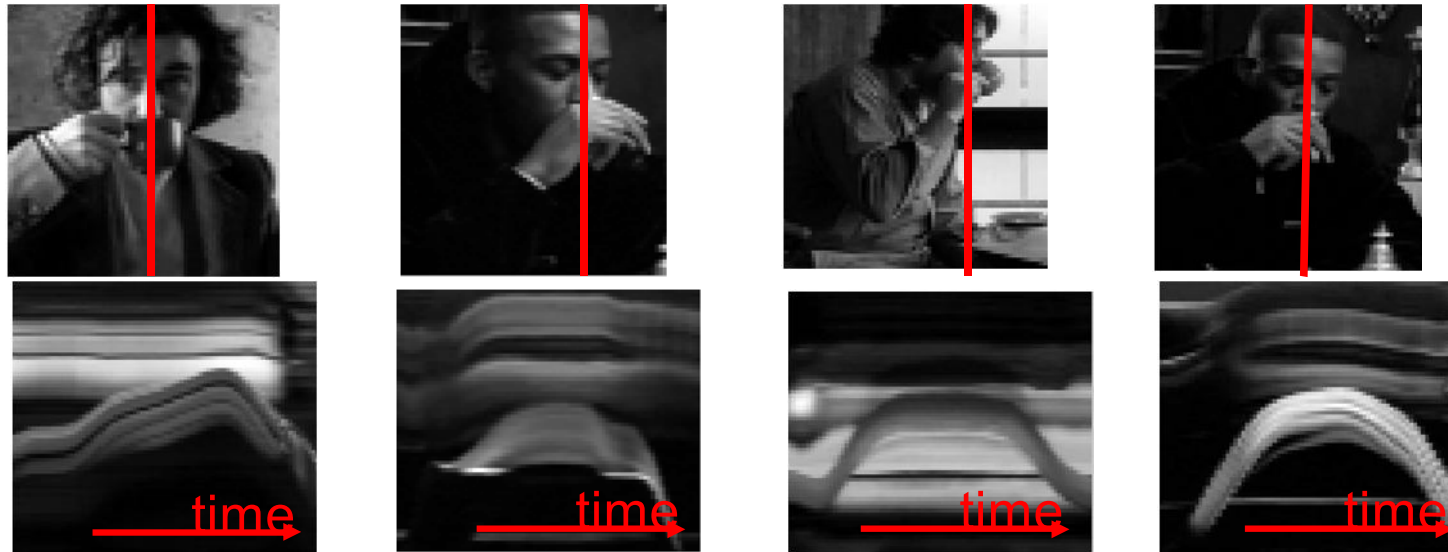
Движение



- Одновременное описание изображением и движением позволяют распознавать события даже в низком разрешении



Скольльзящее окно



- Применим к видео схему «скользящее окно»
- Выделим фрагмент - пространственно-временной параллелепипед
- Возникают задачи, аналогичные задачам классификации изображений и поиска объектов, но для 3х мерного пространственно-временного объема



Задачи распознавания в видео

- Задачи, аналогичные задачам классификации изображений и поиска объектов, но для 3х мерного пространственно-временного объема
 - Классификация видеофрагмента
 - Поиск действий в видео (3D bbox)
- Можем применить наработанную методологию
 - Вычисление признаков (но уже по объему)
 - Поиск особых точек
 - Построение словарей
 - Классификацию
 - И т.д.



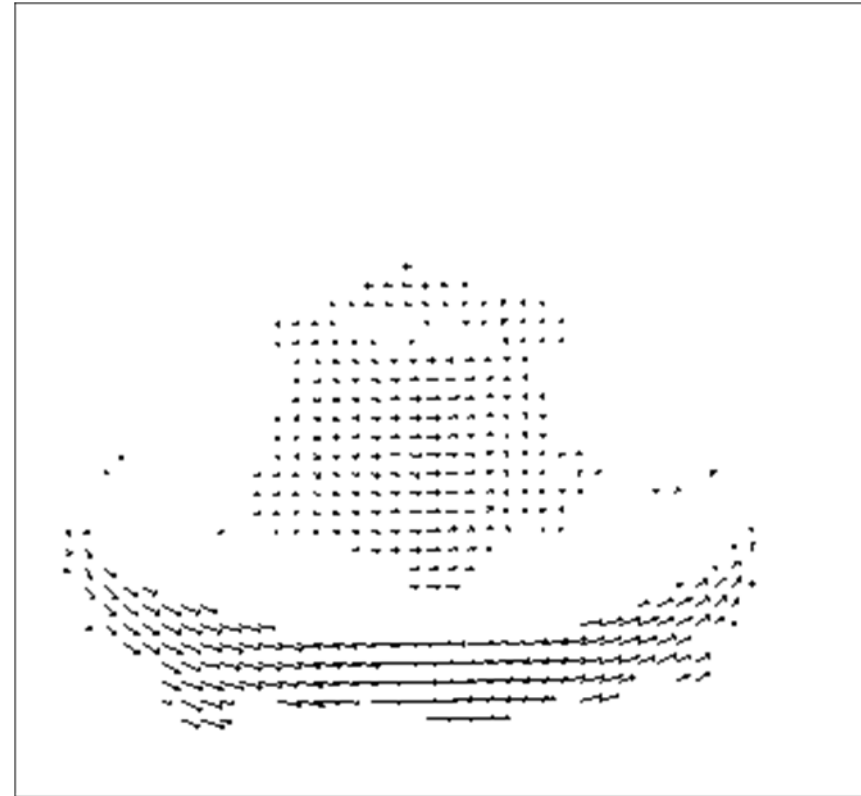
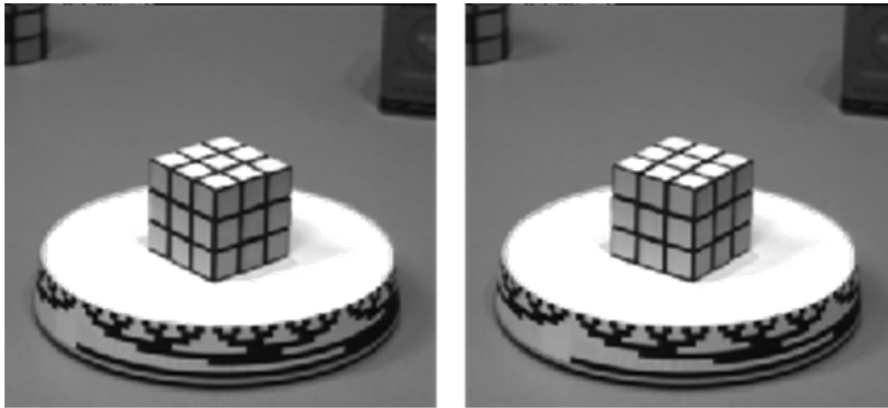
Описание движения



- Точки наблюдаемой сцены движутся относительно камеры / изображения
- Нужно это движение как-то формализовать, описывать и измерять



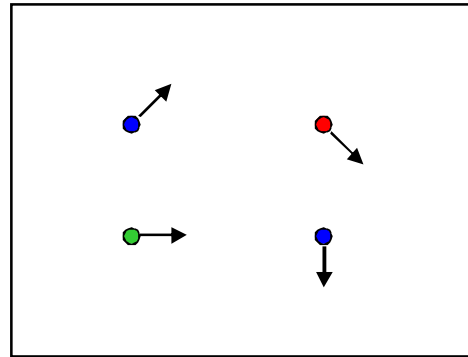
Оптический поток



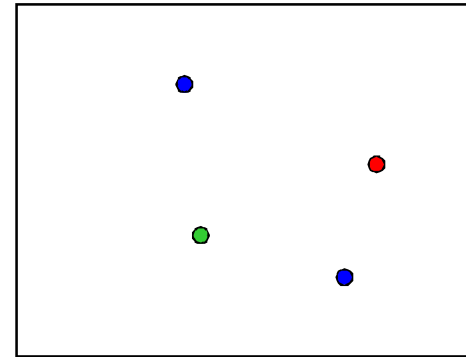
- Векторное поле движения пикселей между кадрами
- Задача - аналог задачи сопоставления изображений (dense matching)
- Один из базовых инструментов анализа изображений



Постановка задачи



$H(x, y)$

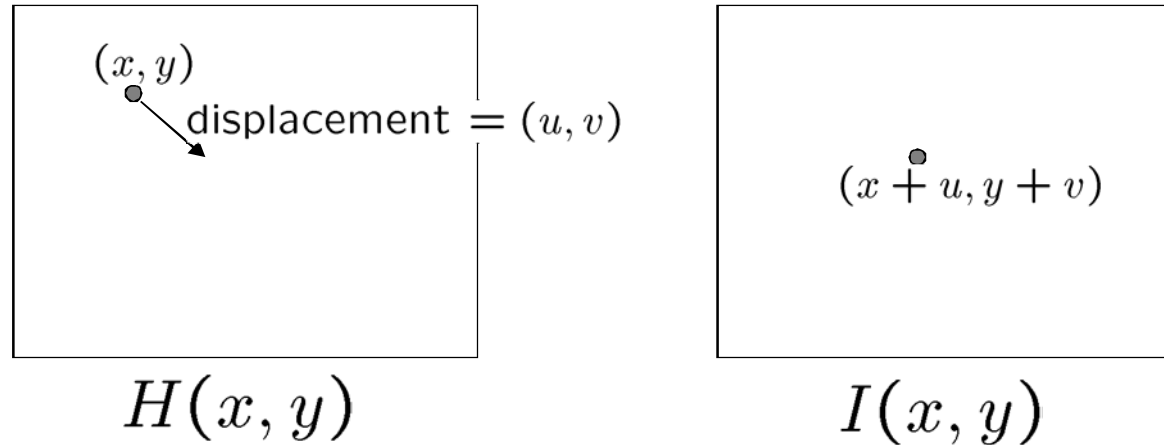


$I(x, y)$

- Как оценить движение пикселей от H в изображение I ?
 - Проблема соответствия пикселей!
 - Пусть дан пиксель H , найти **близкие** пиксели **того же цвета** в I
- Ключевые предположения
 - **Константный цвет**: точка в H выглядит также, как и в I
 - Для изображения в градациях серого, это постоянная яркость
 - **Малое движение**: точки не уезжают далеко между кадрами



Ограничения на оптический поток



- Используем ограничения для формализации задачи
 - Постоянная яркость
 - Малое смещение: (u и v меньше 1-го пикселя)
 - Разложим функцию картинки в ряд тейлора I:

$$\begin{aligned} I(x+u, y+v) &= I(x, y) + \frac{\partial I}{\partial x}u + \frac{\partial I}{\partial y}v + \text{higher order terms} \\ &\approx I(x, y) + \frac{\partial I}{\partial x}u + \frac{\partial I}{\partial y}v \end{aligned}$$



Уравнение оптического потока

- Объединим два ограничения

$$0 = I(x + u, y + v) - H(x, y)$$

$$\approx I(x, y) + I_x u + I_y v - H(x, y)$$

$$\approx (I(x, y) - H(x, y)) + I_x u + I_y v$$

$$\approx I_t + I_x u + I_y v$$

$$\approx I_t + \nabla I \cdot [u \ v]$$

$$I_x = \frac{\partial I}{\partial x}$$

В пределе u и v стремятся к нулю, и получаем равенство:

$$0 = I_t + \nabla I \cdot \left[\frac{\partial x}{\partial t} \ \frac{\partial y}{\partial t} \right]$$



Уравнение оптического потока

- Элементарное уравнение оптического потока:

$$0 = I_t + \nabla I \cdot [u \ v]$$

- Вопрос: сколько неизвестных и уравнений для каждого пикселя?
- 1 уравнение, 2 неизвестных (u, v)



Решение апертурной проблемы

- Как можно получить больше уравнений?
- Идея: наложить дополнительные ограничения
 - Пусть оптический поток меняется плавно
 - Вариант: пусть для всех пикселей p из окрестности (x,y) смещение (u,v) постоянно!
 - Для окна 5×5 получаем 25 уравнений для каждого пикселя!

$$0 = I_t(p_i) + \nabla I(p_i) \cdot [u \ v]$$

$$\begin{bmatrix} I_x(p_1) & I_y(p_1) \\ I_x(p_2) & I_y(p_2) \\ \vdots & \vdots \\ I_x(p_{25}) & I_y(p_{25}) \end{bmatrix} \begin{bmatrix} u \\ v \end{bmatrix} = - \begin{bmatrix} I_t(p_1) \\ I_t(p_2) \\ \vdots \\ I_t(p_{25}) \end{bmatrix}$$

$$A_{25 \times 2}$$

$$d_{2 \times 1}$$

$$b_{25 \times 1}$$



Цвет вместо яркости

- При использовании окна 5x5 получается 25*3 уравнений на пиксель!

$$0 = I_t(\mathbf{p}_i)[0, 1, 2] + \nabla I(\mathbf{p}_i)[0, 1, 2] \cdot [u \ v]$$

$$\begin{bmatrix} I_x(\mathbf{p}_1)[0] & I_y(\mathbf{p}_1)[0] \\ I_x(\mathbf{p}_1)[1] & I_y(\mathbf{p}_1)[1] \\ I_x(\mathbf{p}_1)[2] & I_y(\mathbf{p}_1)[2] \\ \vdots & \vdots \\ I_x(\mathbf{p}_{25})[0] & I_y(\mathbf{p}_{25})[0] \\ I_x(\mathbf{p}_{25})[1] & I_y(\mathbf{p}_{25})[1] \\ I_x(\mathbf{p}_{25})[2] & I_y(\mathbf{p}_{25})[2] \end{bmatrix} \begin{bmatrix} u \\ v \end{bmatrix} = - \begin{bmatrix} I_t(\mathbf{p}_1)[0] \\ I_t(\mathbf{p}_1)[1] \\ I_t(\mathbf{p}_1)[2] \\ \vdots \\ I_t(\mathbf{p}_{25})[0] \\ I_t(\mathbf{p}_{25})[1] \\ I_t(\mathbf{p}_{25})[2] \end{bmatrix}$$

A d b
75x2 2x1 75x1



Алгоритм Лукаса-Канаде

- Проблема: больше уравнений, чем неизвестных!

$$\begin{matrix} A & d = & b \\ 25 \times 2 & 2 \times 1 & 25 \times 1 \end{matrix} \longrightarrow \text{minimize } \|Ad - b\|^2$$

- Получаем задачу наименьших квадратов
- Можем решить её через нормальные уравнения

$$\begin{matrix} (A^T A) & d = & A^T b \\ 2 \times 2 & 2 \times 1 & 2 \times 1 \end{matrix} \longrightarrow d = (A^T A)^{-1} A^T b$$

$$\begin{matrix} \begin{bmatrix} \sum I_x I_x & \sum I_x I_y \\ \sum I_x I_y & \sum I_y I_y \end{bmatrix} & \begin{bmatrix} u \\ v \end{bmatrix} = - & \begin{bmatrix} \sum I_x I_t \\ \sum I_y I_t \end{bmatrix} \\ A^T A & & A^T b \end{matrix}$$

- Суммируем по всем пикселям в окне $K \times K$
- Это метод был предложен Лукасом и Канаде в 1981 году



Алгоритм Лукаса-Канаде

- Оптимальные (u, v) удовлетворяют уравнению

$$\begin{bmatrix} \sum I_x I_x & \sum I_x I_y \\ \sum I_x I_y & \sum I_y I_y \end{bmatrix} \begin{bmatrix} u \\ v \end{bmatrix} = - \begin{bmatrix} \sum I_x I_t \\ \sum I_y I_t \end{bmatrix}$$

$A^T A$ $A^T b$

- Которое может быть решено через нормальные уравнения

$$d = (A^T A)^{-1} A^T b$$

B. D. Lucas and T. Kanade. An iterative image registration technique with an application to stereo vision. In *DARPA Image Understanding Workshop, April 1981*.



Условия на разрешимость

- Решение задачи оптического потока $d = (u, v)$ может быть найдено в виде

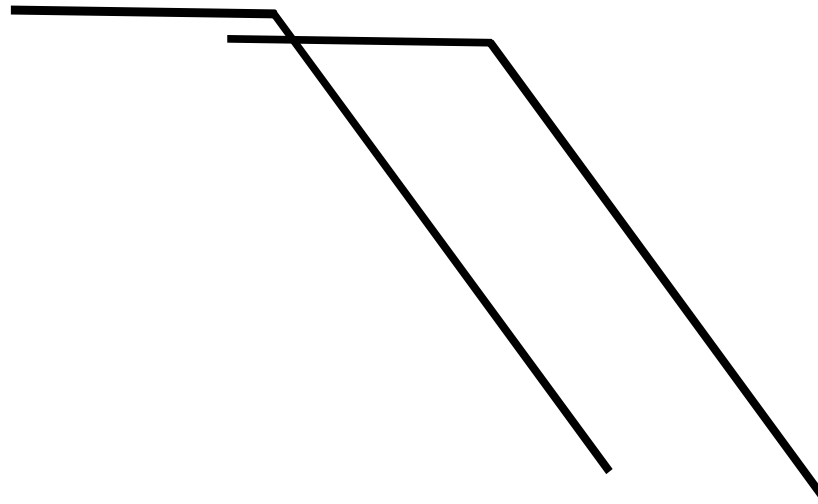
$$A^T A = \begin{bmatrix} \sum I_x I_x & \sum I_x I_y \\ \sum I_x I_y & \sum I_y I_y \end{bmatrix} = \sum \begin{bmatrix} I_x \\ I_y \end{bmatrix} [I_x \ I_y] = \sum \nabla I (\nabla I)^T$$

$$d = (A^T A)^{-1} A^T b \qquad A^T b = - \begin{bmatrix} \sum I_x I_t \\ \sum I_y I_t \end{bmatrix}$$

- Когда задача разрешима?
 - $A^T A$ должна быть обратимой
 - $A^T A$ не должна быть слишком близка к нулю
 - С.значения λ_1 и λ_2 матрицы $A^T A$ не должны быть малы
 - $A^T A$ должна быть хорошо определима
 - λ_1 / λ_2 не должно быть слишком велико
 - ($\lambda_1 =$ наибольшее с.значение)
- $A^T A$ разрешима, когда нет апертурной проблемы

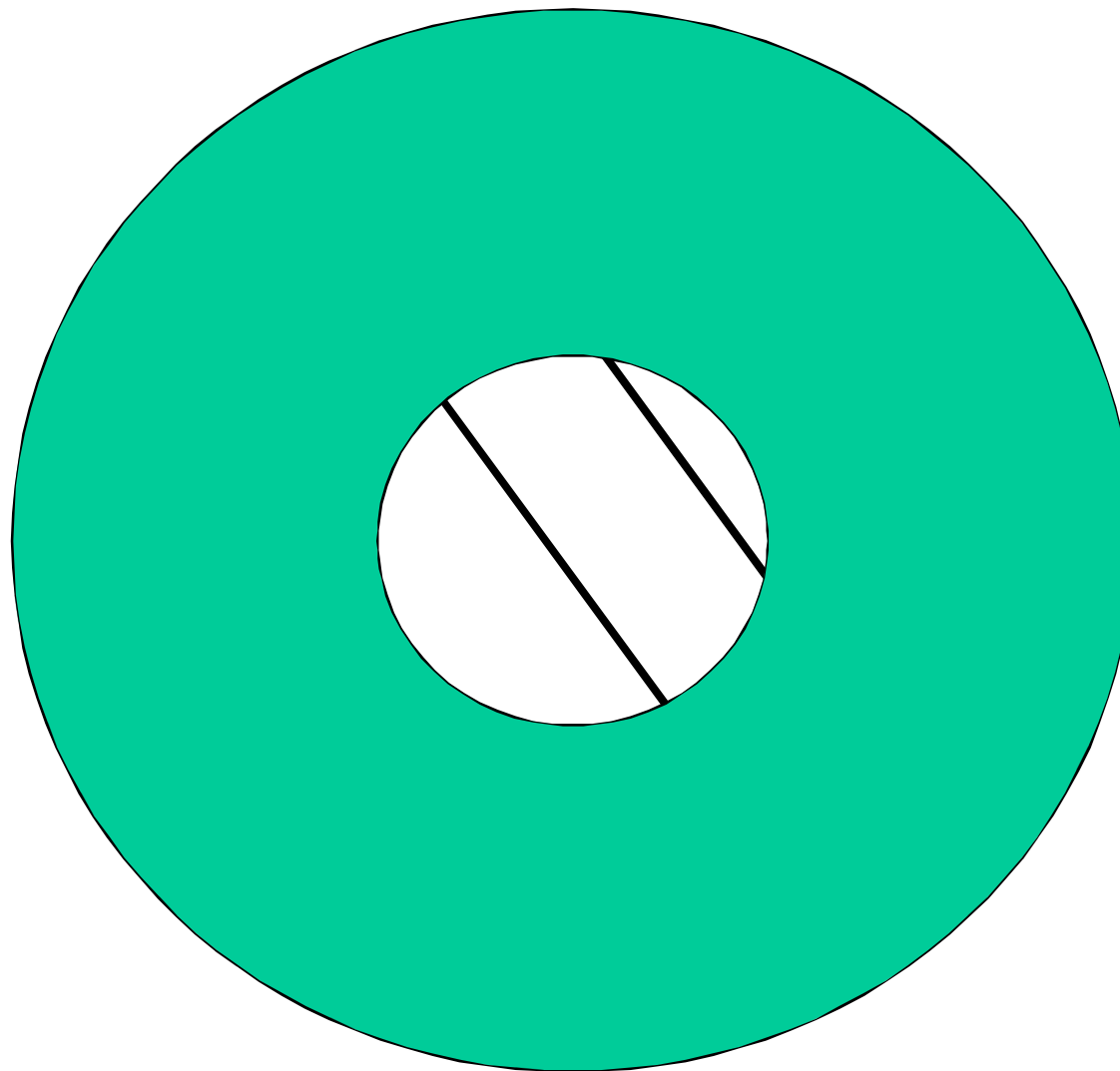


Проблема апертуры



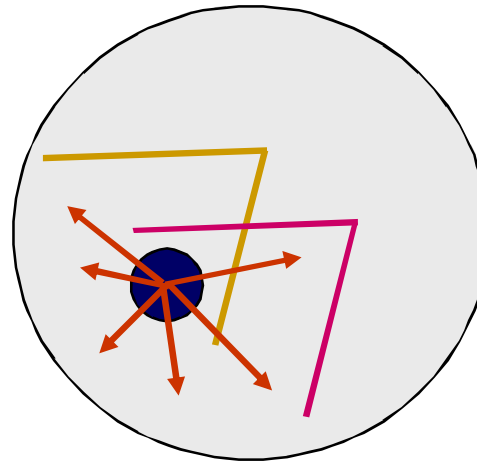
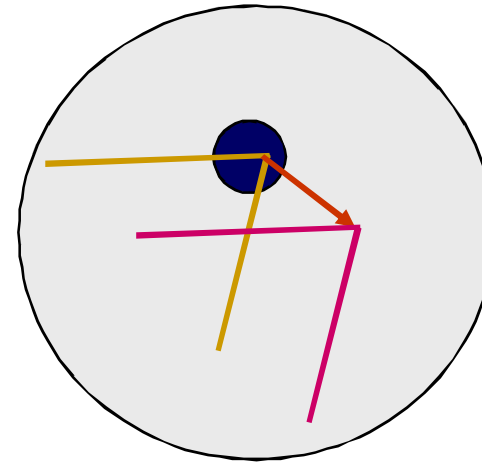
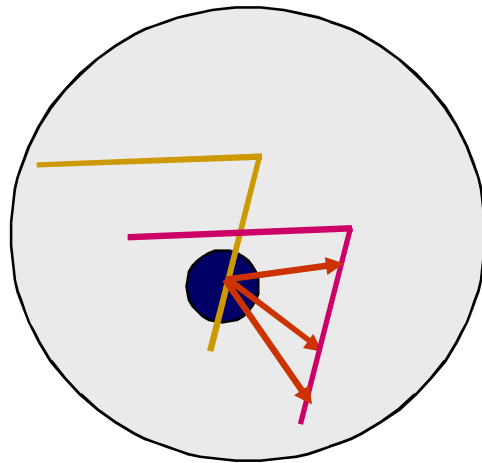


Проблема апертуры



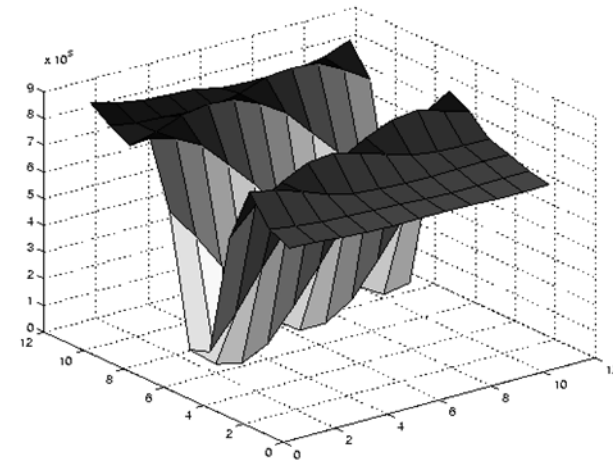
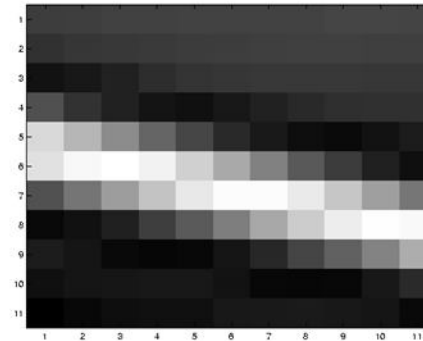


Анализ участка изображения





Края

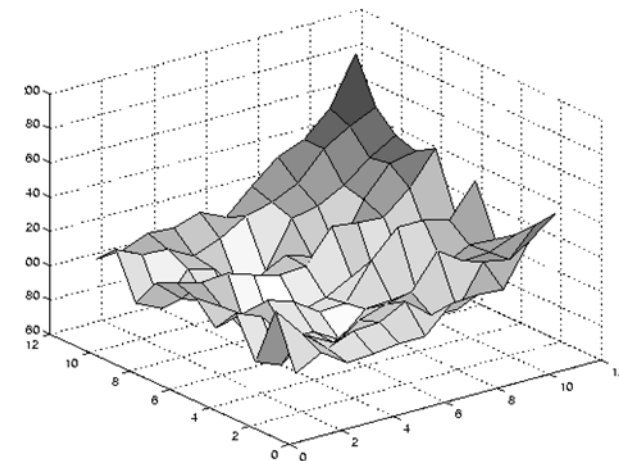
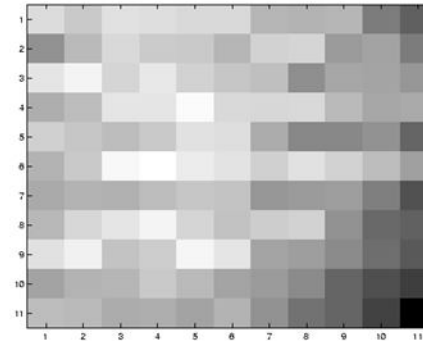


$$\sum \nabla I (\nabla I)^T$$

- большие градиенты
- большое λ_1 , маленькое λ_2



Слабоконтрастная текстура



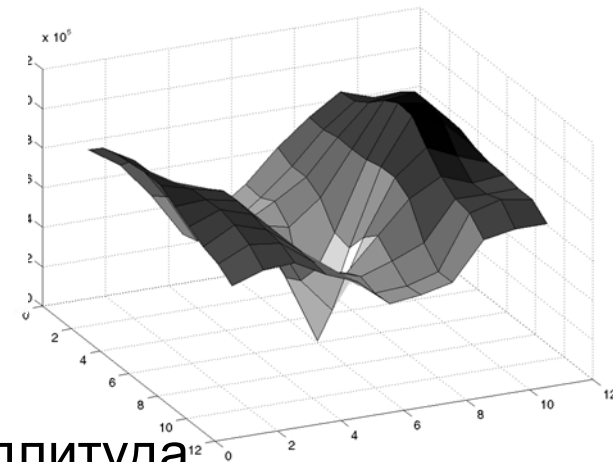
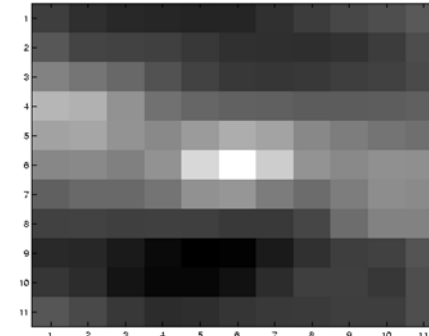
$$\sum \nabla I (\nabla I)^T$$

— величина градиента мала

— малое λ_1 , малое λ_2



Текстурированная область



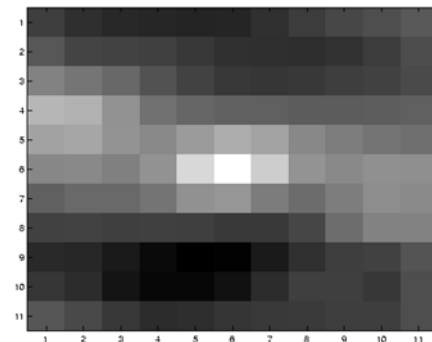
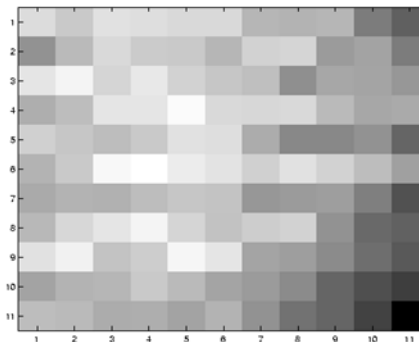
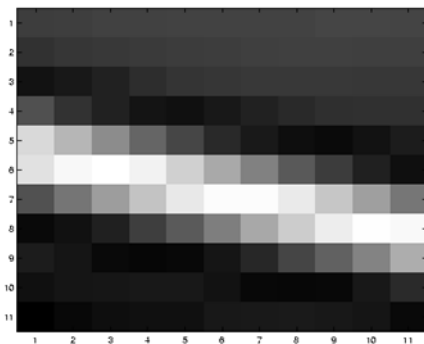
$$\sum \nabla I (\nabla I)^T$$

- градиенты разные, большая амплитуда
- большое λ_1 , большое λ_2



Замечание

- Поиск оптического потока производится между двумя изображениями, но:
 - Можем оценить качество оценки только по 1 изображению!
 - По 1 картинке можно сказать, в каких точках поток будет считаться хорошо, а в каких - нет
 - На этом основаны методы выбора особенностей для отслеживания
 - Фактически, поиск особых точек!



Jianbo Shi and Carlo Tomasi, "Good Features to Track," *CVPR 1994*



Погрешности метода Л-К

- Каковы потенциальные источники ошибок?
 - Предполагаем, что $A^T A$ обратима
 - Предполагаем, что в изображении мало шума
- Когда эти предположения нарушаются:
 - Яркость точки не постоянная
 - Движение между кадрами большое
 - Движение соседей отличается от движения точки
 - Окно поиска слишком большое
 - Какой наилучший размер окна поиска?

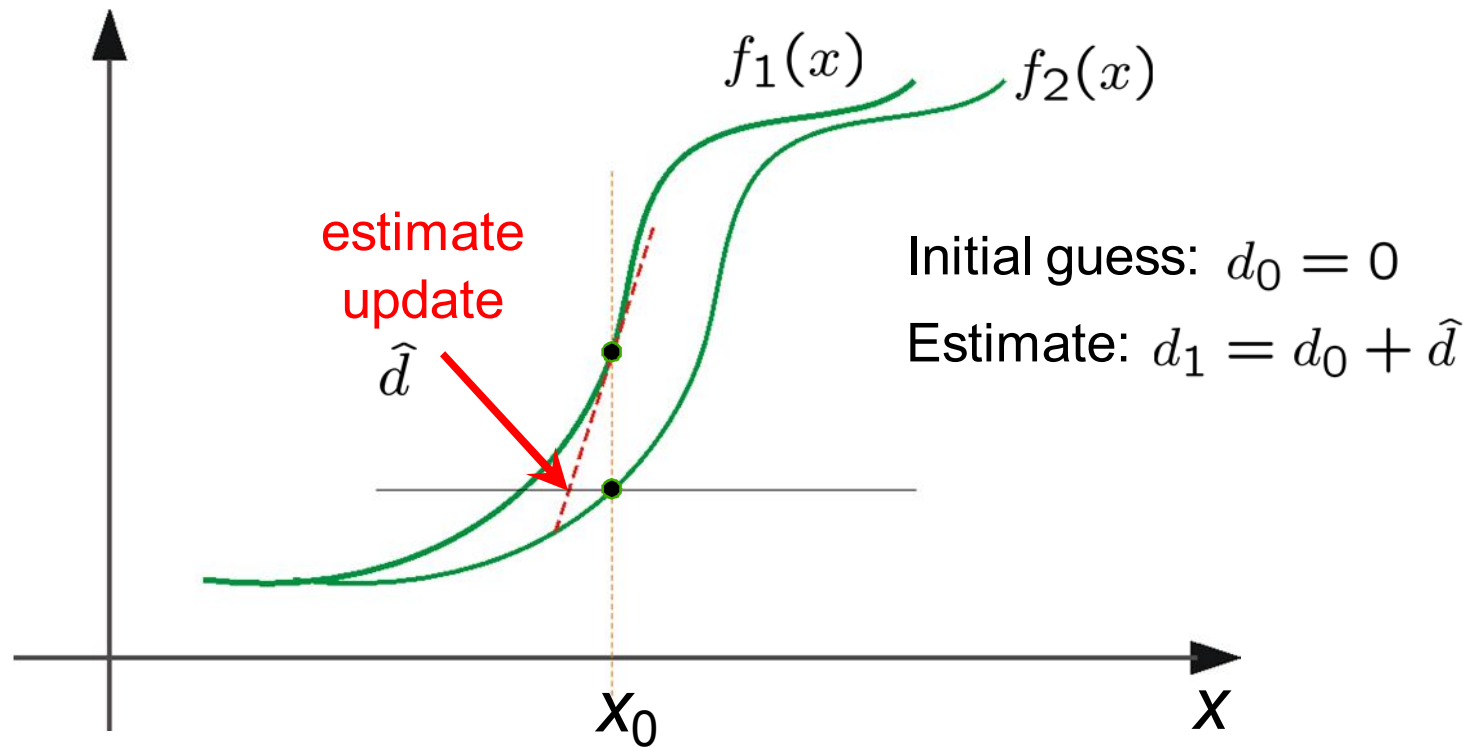


Итеративное уточнение

- Итеративный вариант алгоритма Лукаса-Канаде
 1. Оценить движение в каждом пикселе, решив уравнения Лукаса-Канаде
 2. Преобразовать изображение N используя вычисленное движение
 3. Повторить 1-2 до сходимости



Пример

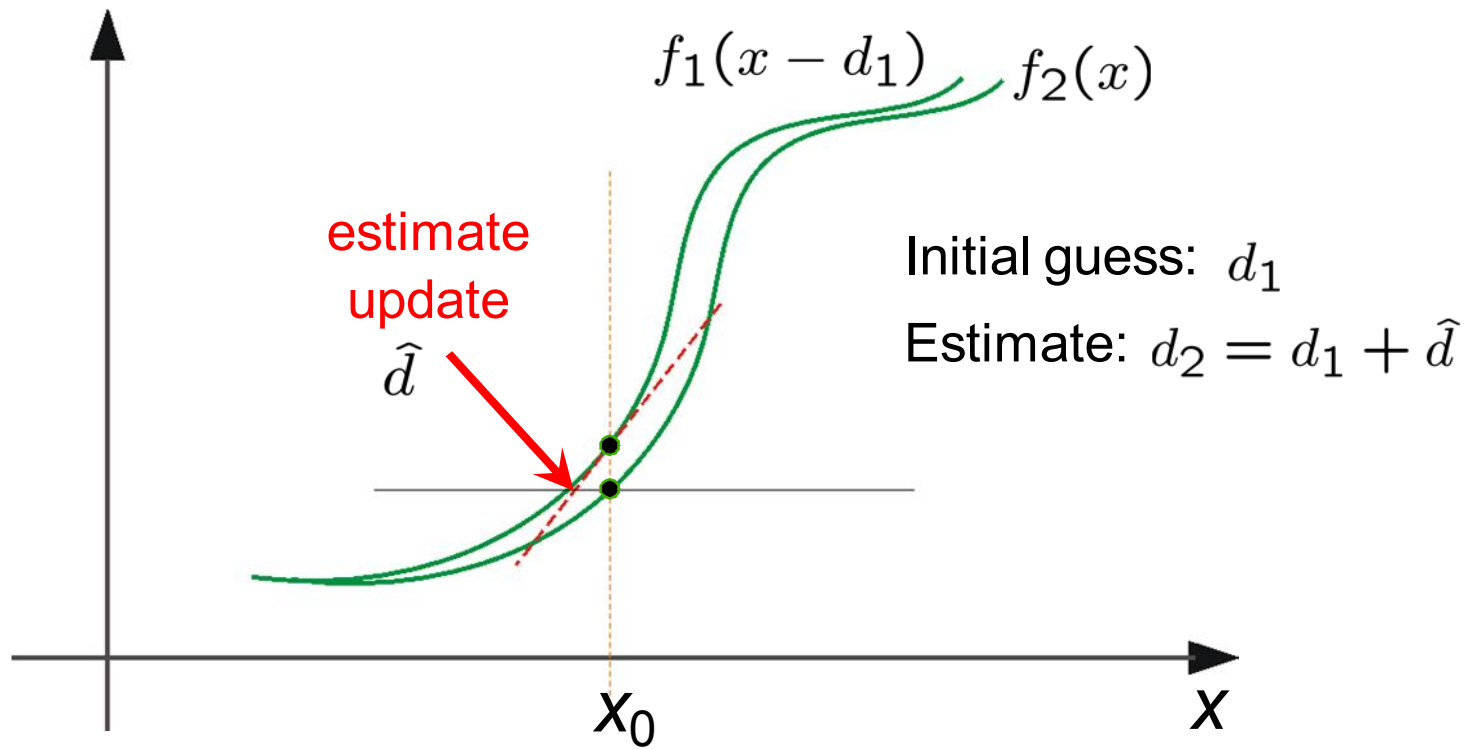


$$0 = I_t + I_x d$$

- Рассмотрим одномерный случай (d – смещение)

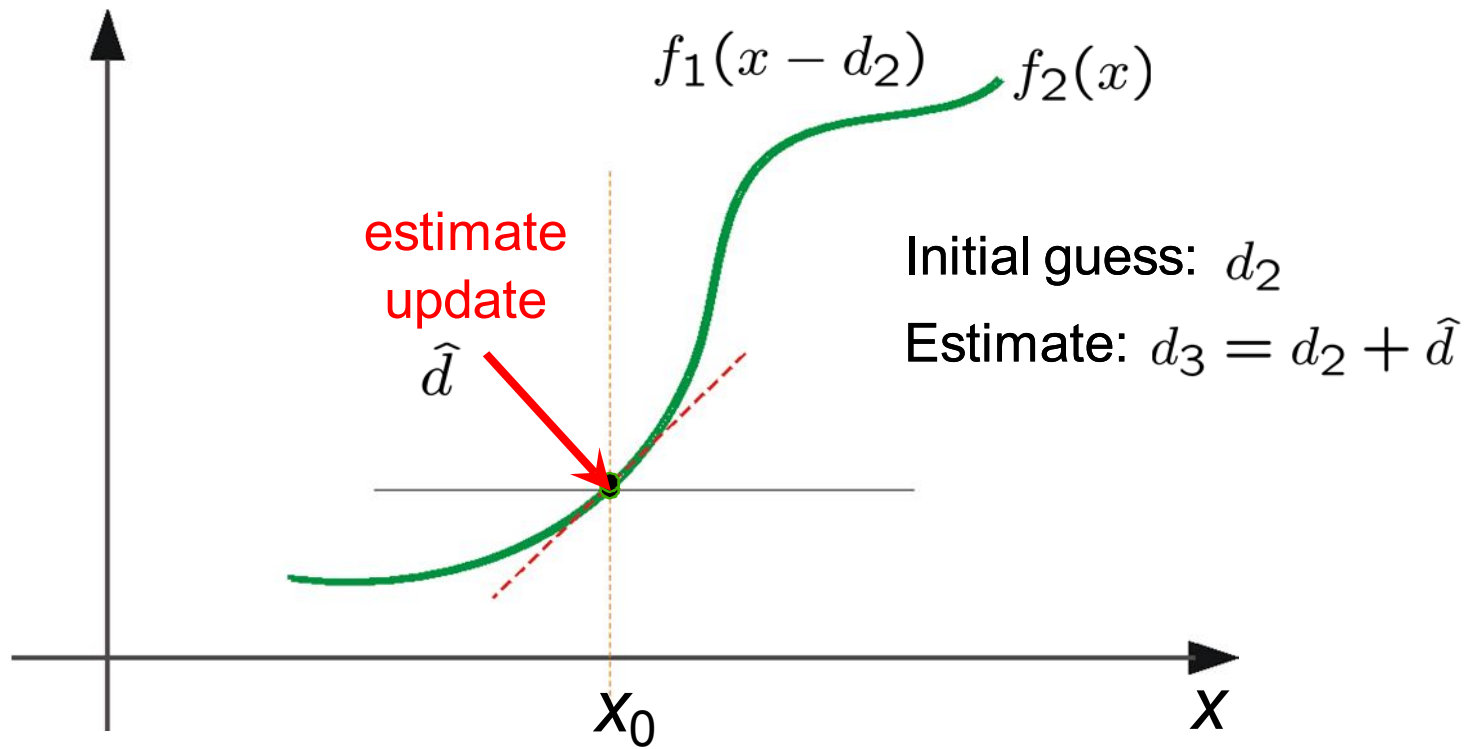


Пример



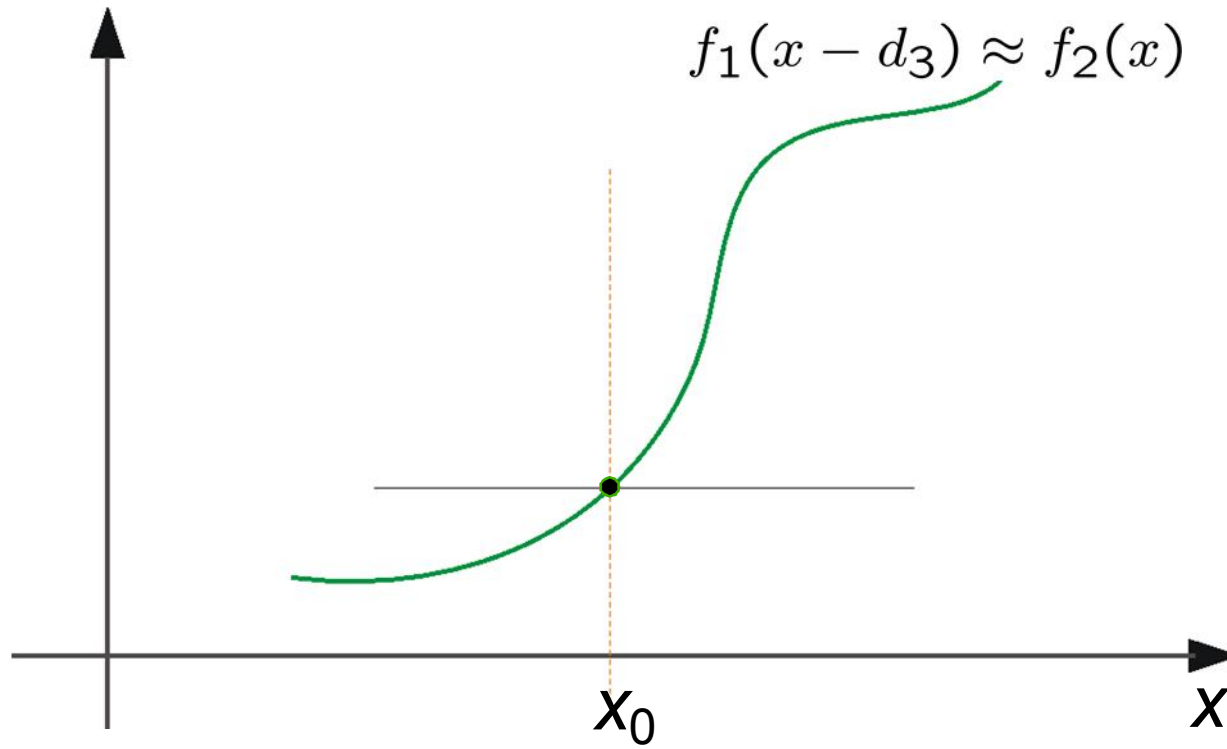


Пример





Пример





Замечания

- Сглаживаем изображения для более аккуратного вычисления градиентов
- Лучше градиенты вычислять по одному изображению, а преобразовывать другое
- Преобразование изображения приводит к ошибкам из-за дискретизации, можем потерять в точности



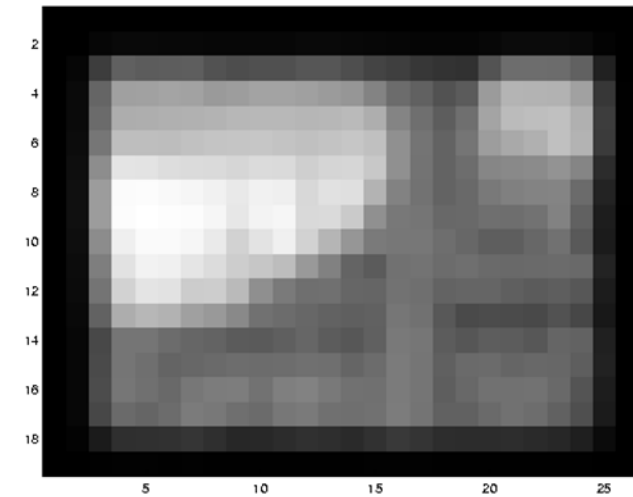
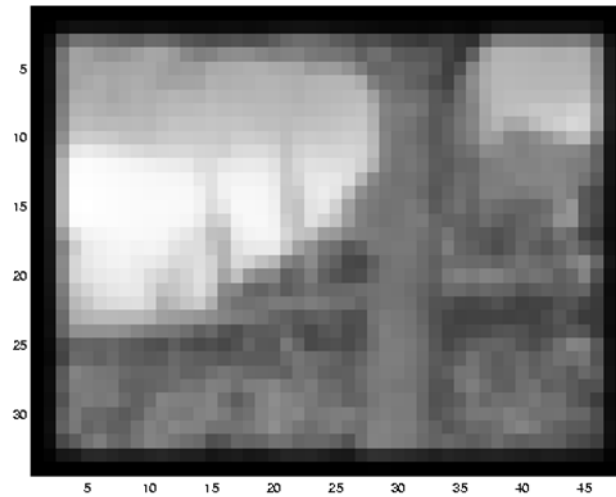
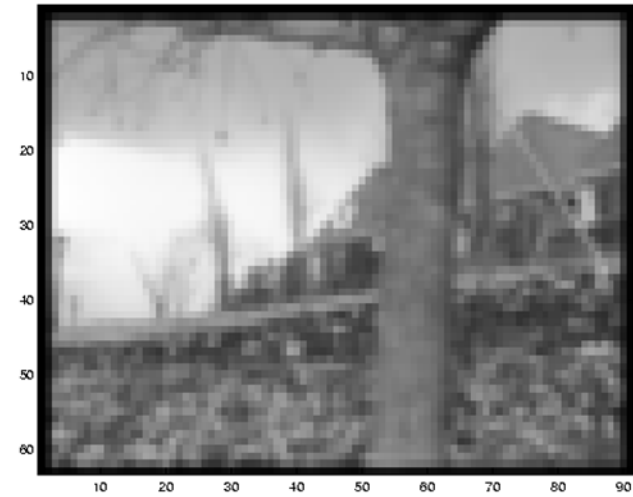
Проблема большого смещения



- Насколько мало движение в изображении?
 - Существенно больше 1-го пикселя
 - Как можно решить эту проблему?

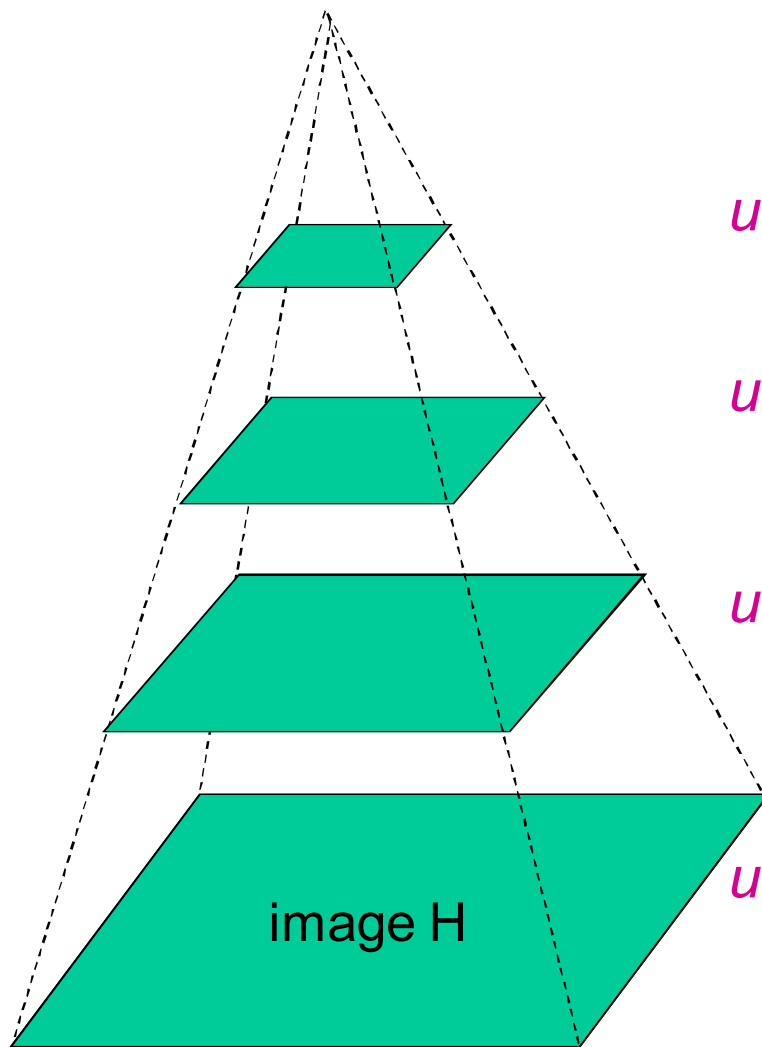


Пирамида разрешений





Иерархический метод



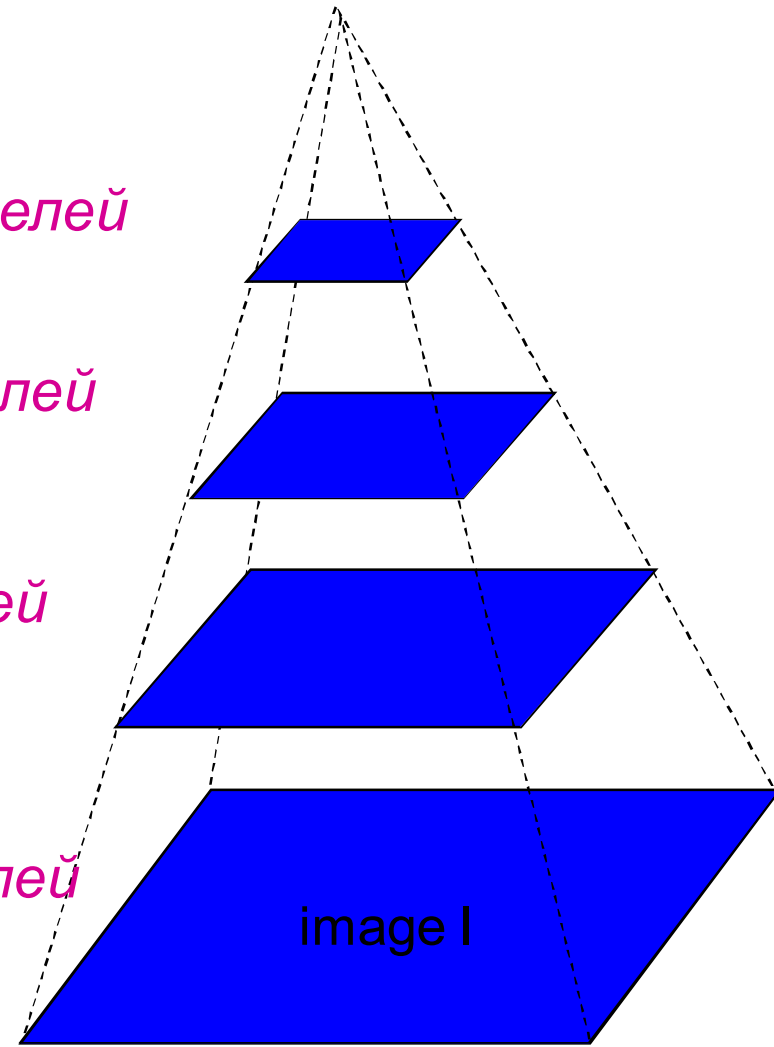
Гауссова пирамида для N

$u=1.25$ пикселей

$u=2.5$ пикселей

$u=5$ пикселей

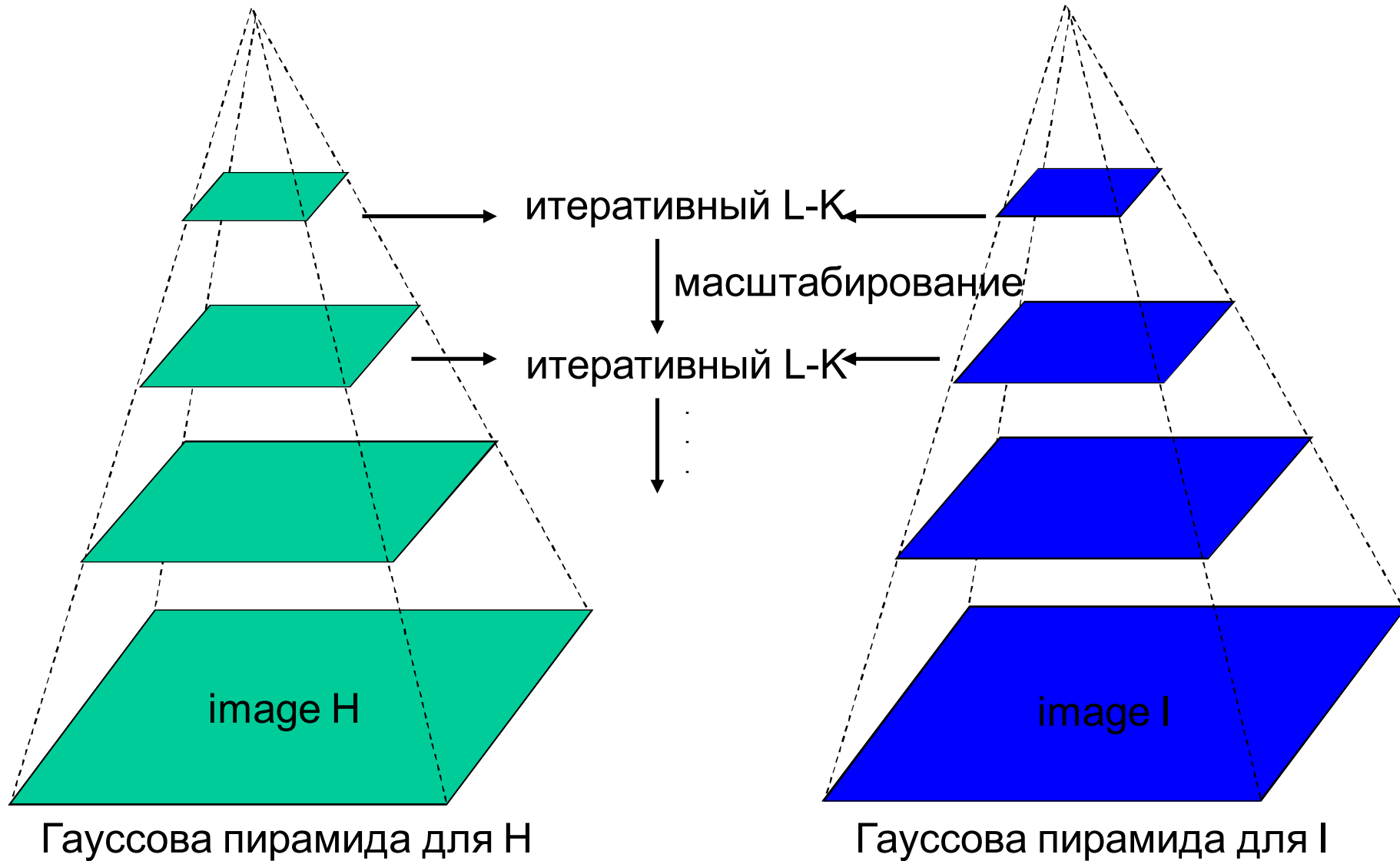
$u=10$ пикселей



Гауссова пирамида для I



Иерархический метод





Другие модели движения

- В рассматриваемых алгоритмах модель движение – параллельный перенос (u, v)
- Можно использовать другие модели
 - поворот, аффинную, перспективную
- Необходимо просто вычислить соответствующий Якобиан

$$\mathbf{A}^T \mathbf{A} = \sum_i \mathbf{J} \nabla I (\nabla I)^T \mathbf{J}^T$$

$$\mathbf{A}^T \mathbf{b} = - \sum_i \mathbf{J}^T I_t (\nabla I)^T$$

Проблемы:

- Много параметров, столько же исходных данных
- Меньшая устойчивость и надежность

Jianbo Shi and Carlo Tomasi, "Good Features to Track," *CVPR 1994*

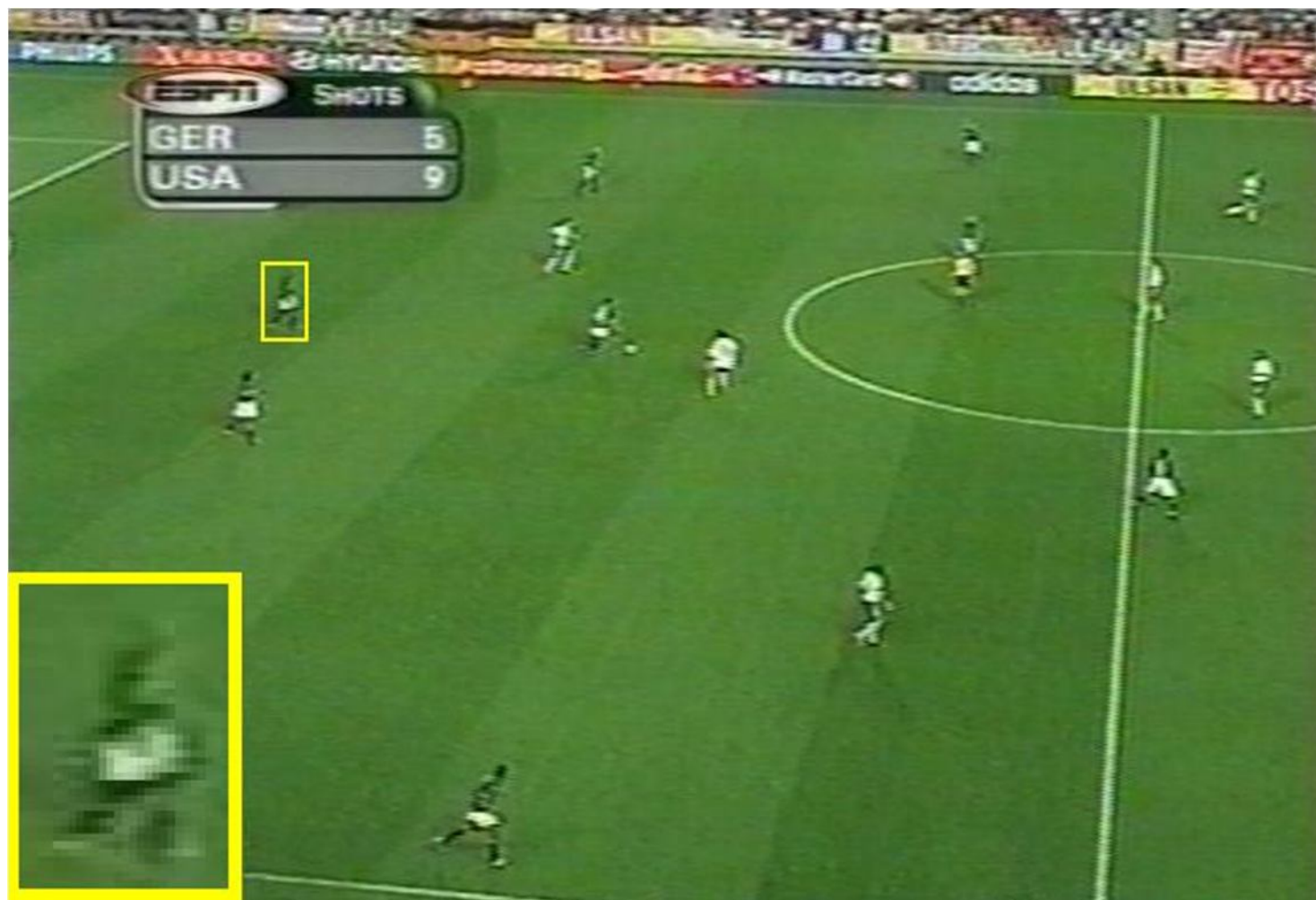


Реализации

- OpenCV
 - GoodFeatureToTrack
 - Выбор особых точек (фактически, Harris)
 - cvCalcOpticalFlowPyrLK
 - Иерархическое расширение метода Lucas-Kanade для оптического потока



Распознавание событий



30и пиксельный человек

[Alexei A. Efros](#), [Alexander C. Berg](#), [Greg Mori](#) and [Jitendra Malik](#). Recognizing Action at a Distance. ICCV 2003



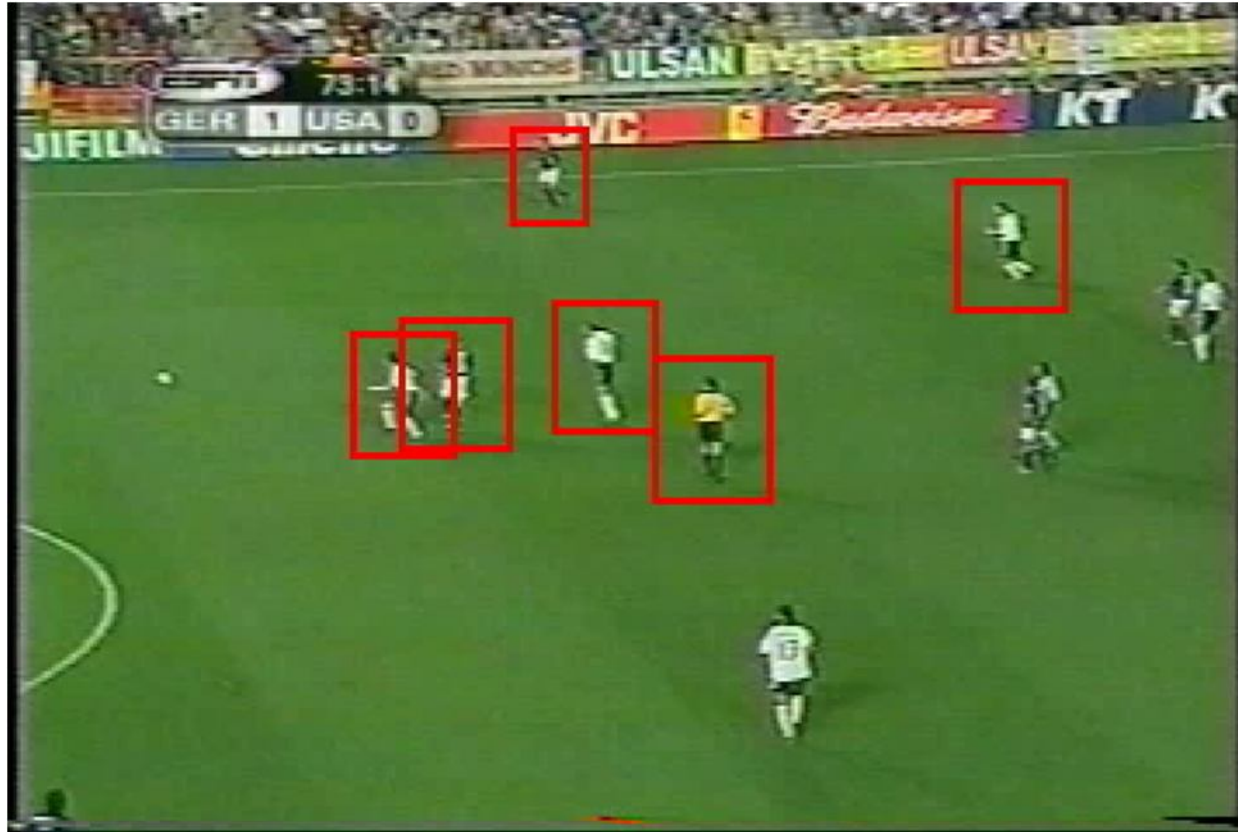
Задача



- Распознавать события (действия человека) на расстоянии
 - Низкое разрешение, шумные данные
 - Движущаяся камера, перекрытия
 - Широкая гамма событий



Сбор данных

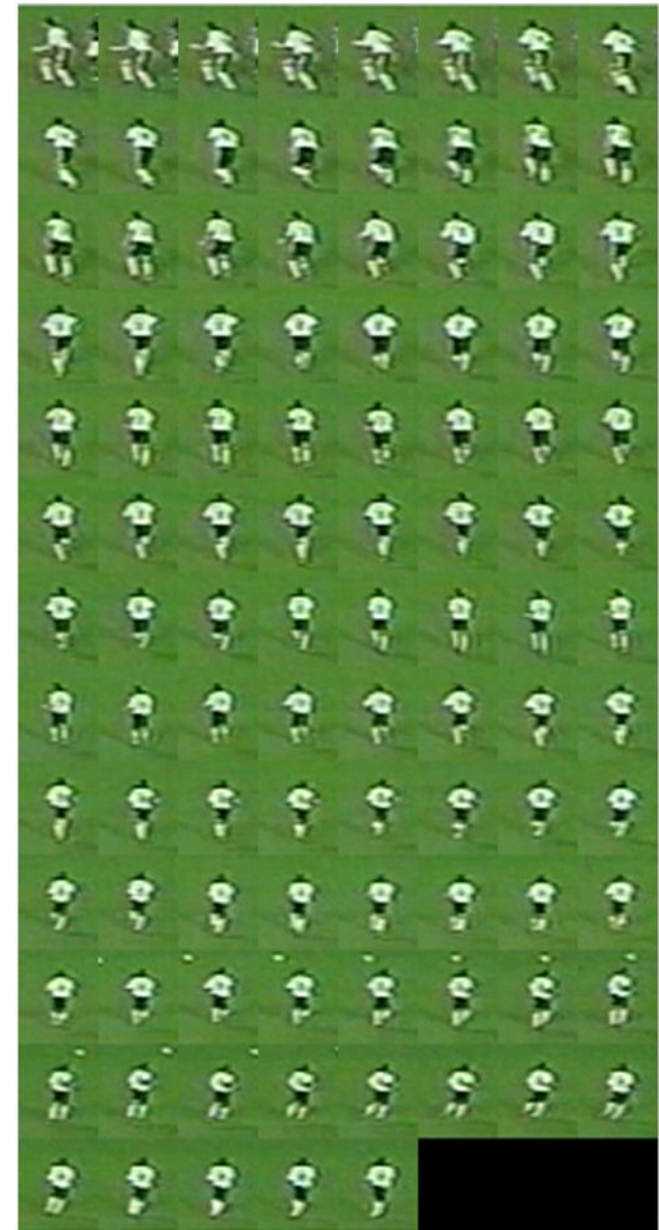


- Отслеживание
 - Инициализируется пользователем
 - Простой коррелятор



Представление

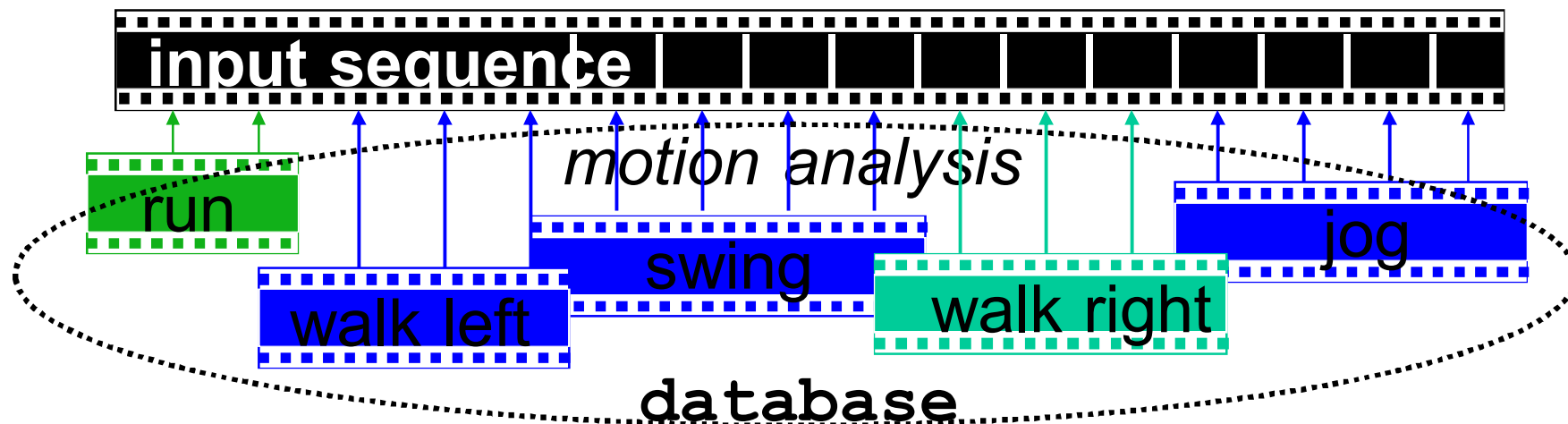
- Стабилизированный пространственно-временной объем
 - Нет информации о перемещении
 - Всё движение вызвано движением конечностей человека





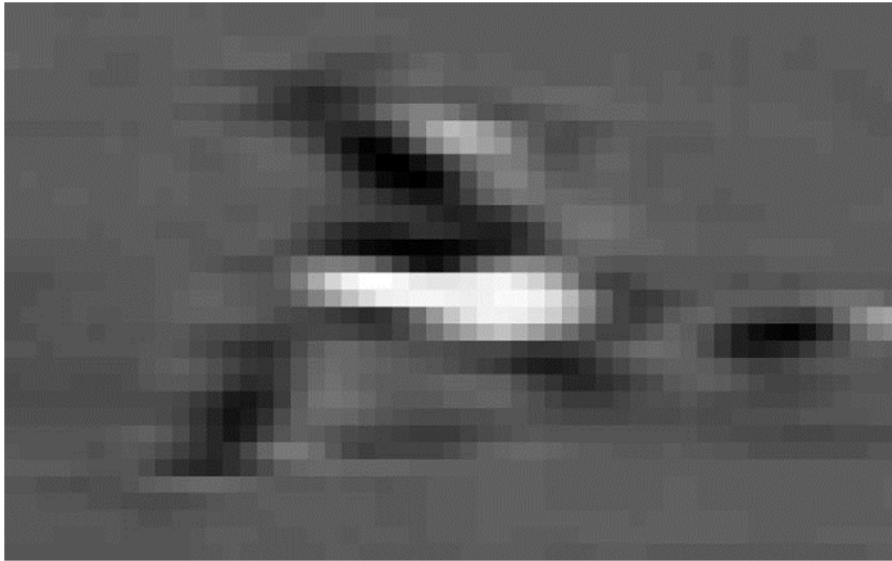
Схема

- Будем аннотировать видеопоток сопоставляя его с ранее записанными видеофрагментами
 - Для каждого кадра, сопоставим фрагмент в некотором временном интервале
 - Распознавание через сопоставление (Nearest Neighbor)

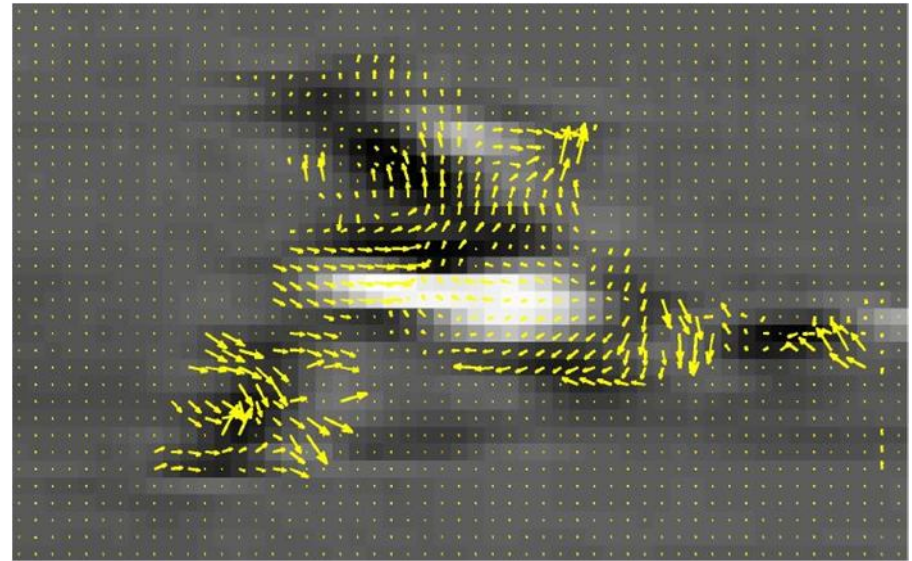




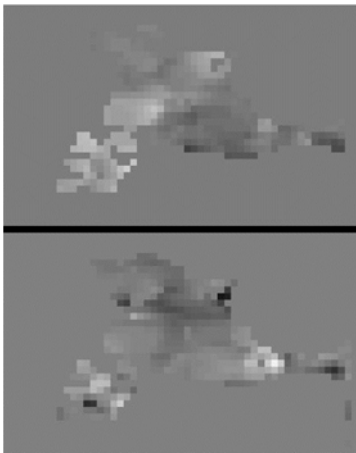
Дескриптор движения



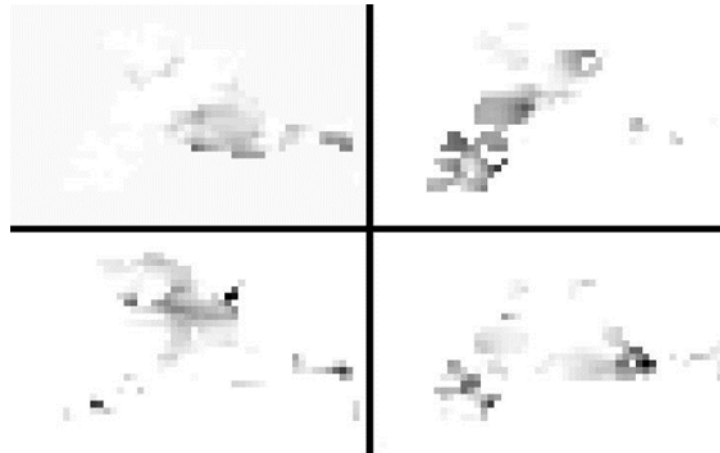
Изображение



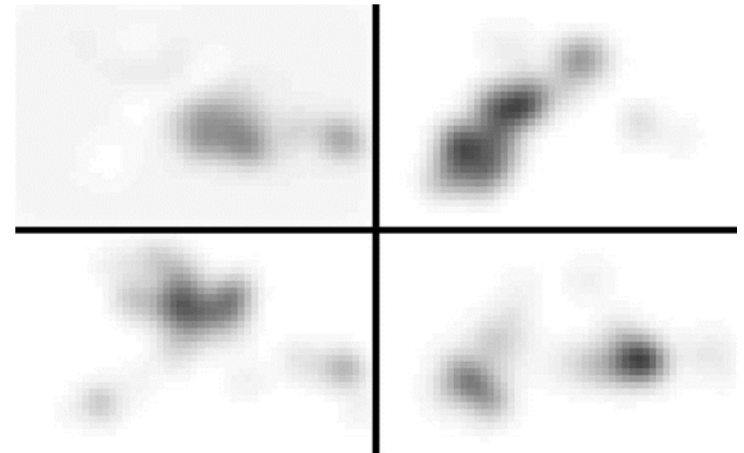
Оптический поток $F_{x,y}$



F_x, F_y



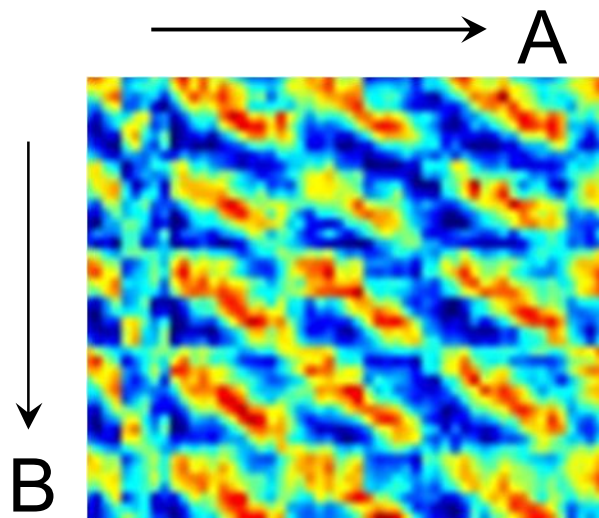
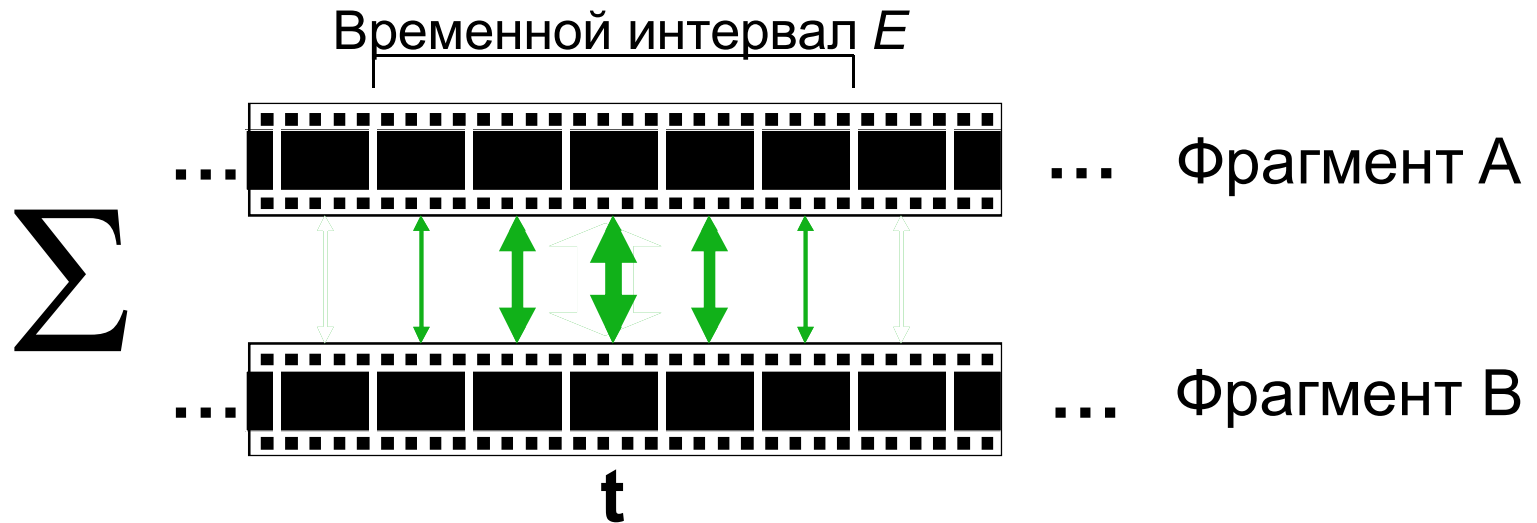
$F_x^-, F_x^+, F_y^-, F_y^+$



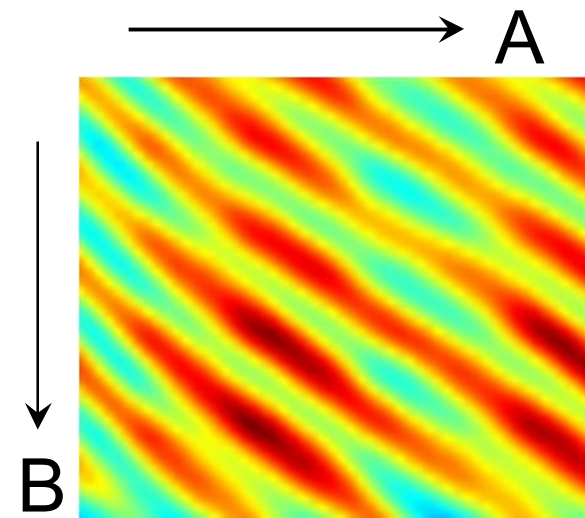
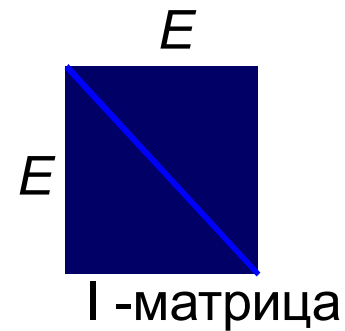
сглаженные $F_x^-, F_x^+, F_y^-, F_y^+$



Дескриптор движения



Покадровая
Матрица сходства



Матрица сходства
движений

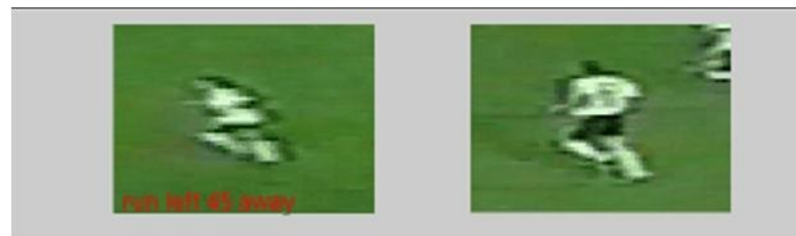
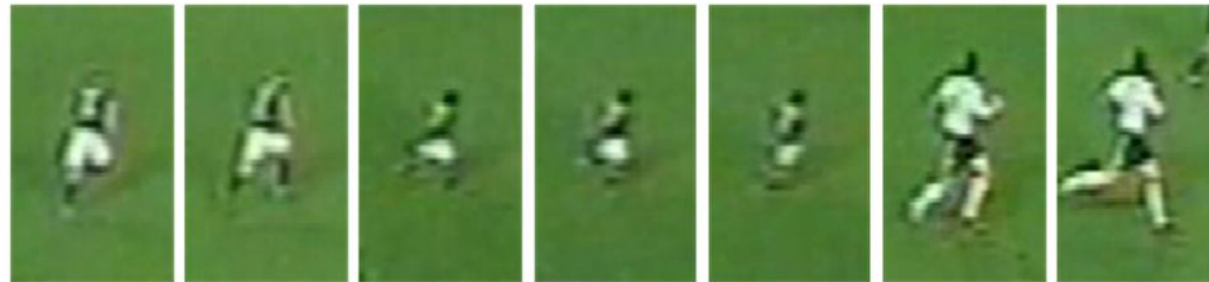


Действия: сопоставление

Исходное
видео



Сопоставленные
кадры

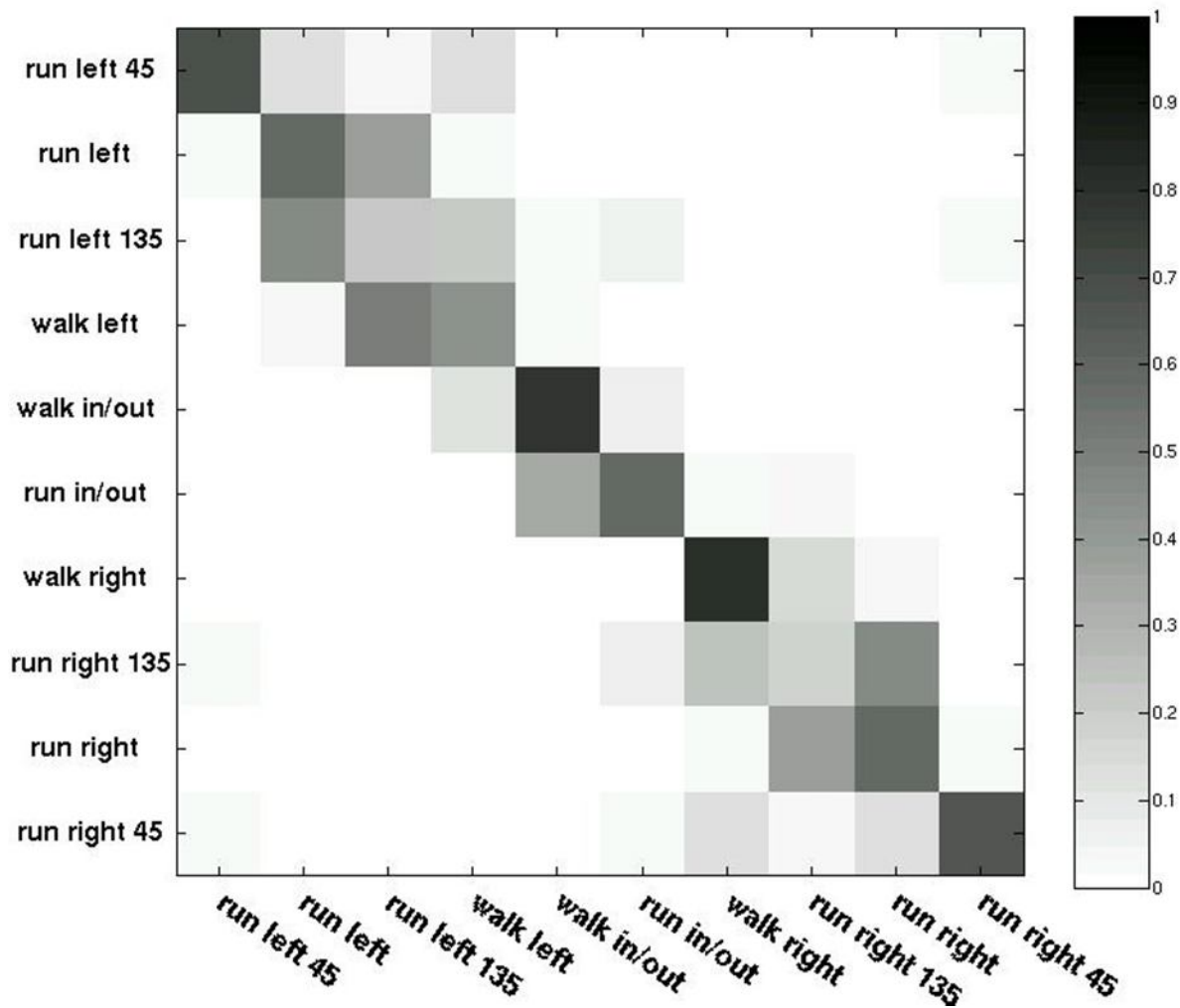


ВХОД

СОПОСТАВЛЕНИЕ



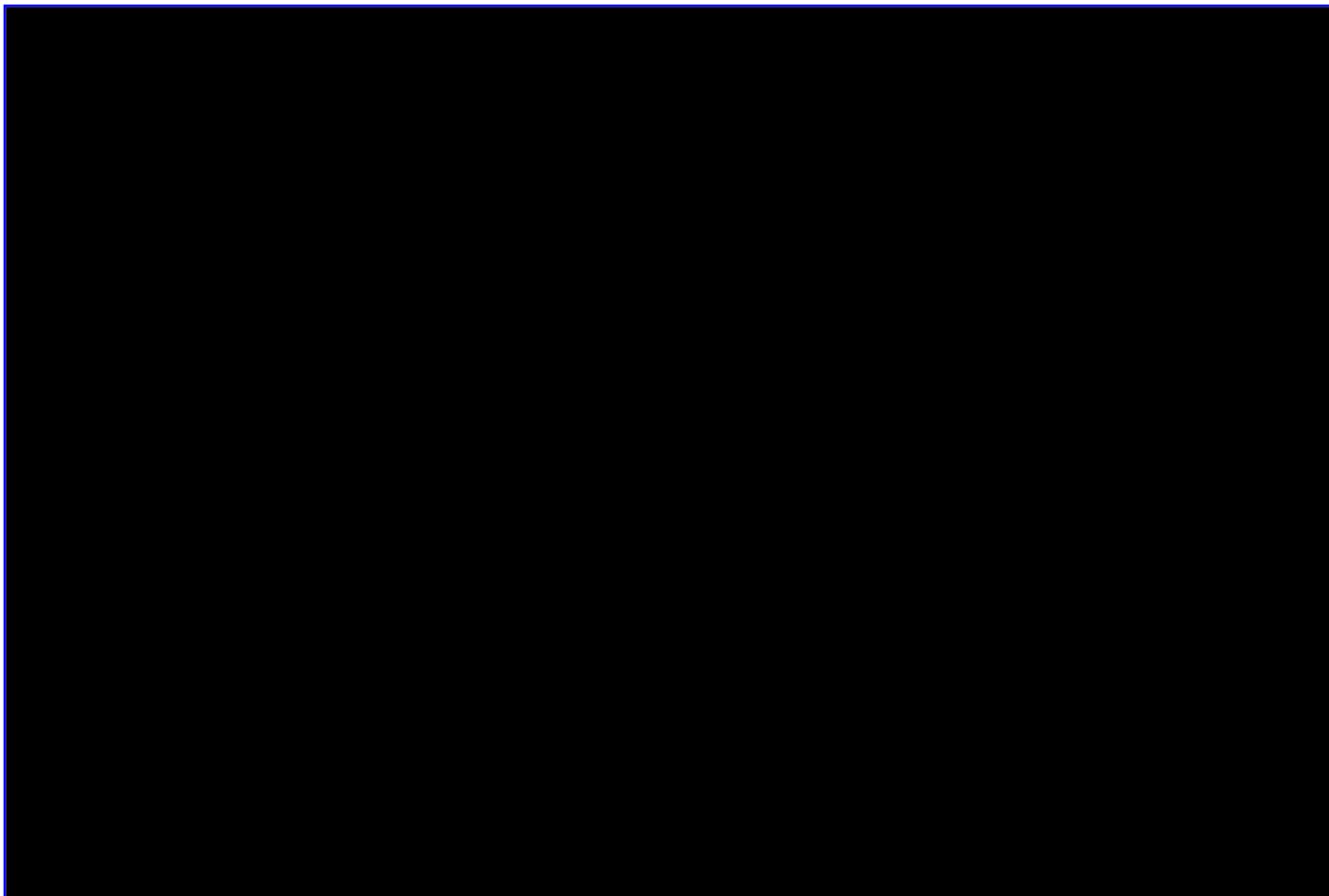
Классификация действий: футбол



10 действий; 4500 кадров всего; 13 кадров в дескрипторе

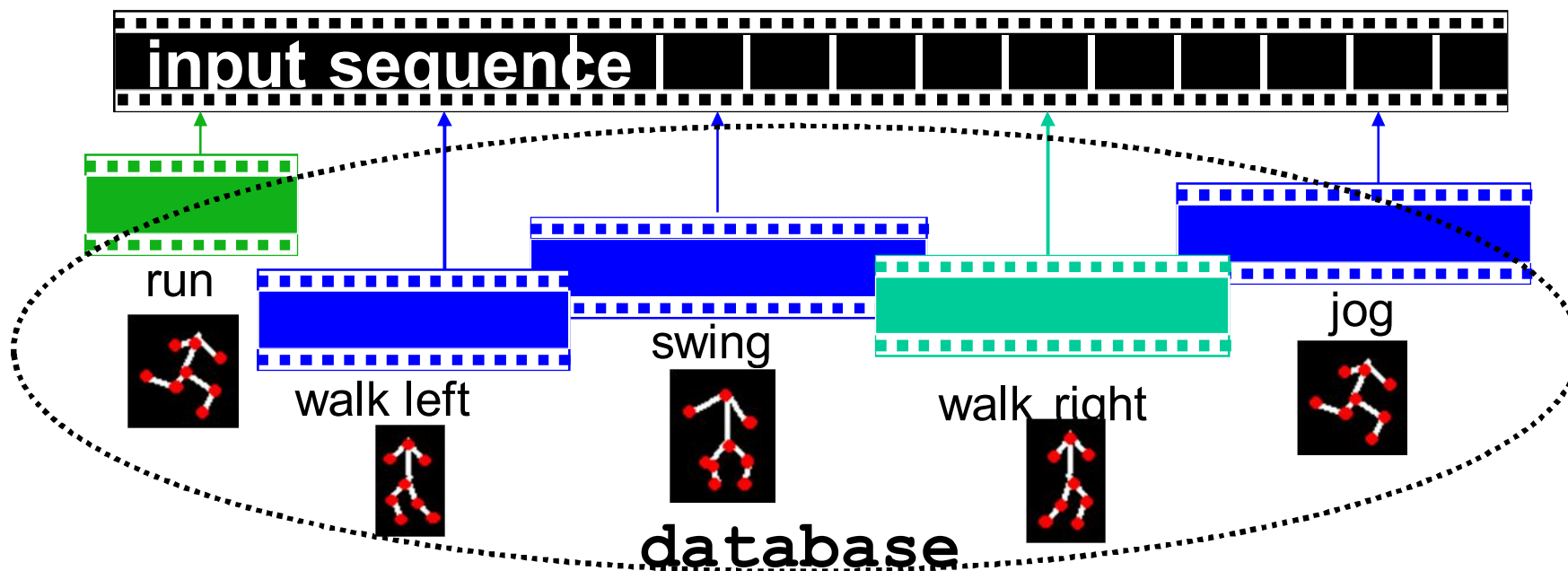


Распознавание: теннис





Аннотированная база событий



Распознавание действий:

run walk left swing walk right jog

Положения суставов:





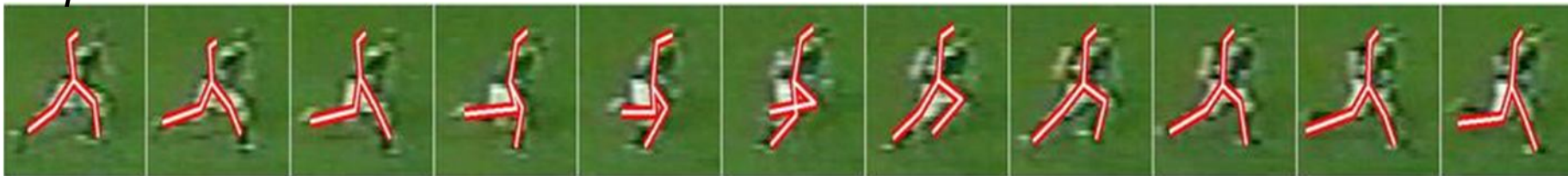
Перенос 2D скелета

- База размечена 2D точками в местах сочленений конечностей (суставах)
- После сопоставления перенос скелета на новую последовательность
 - Уточнение (Поиск наилучшего сдвига/масштаба для совмещения карты движения)

Исходная последовательность:



Перенос скелета:





Перенос 3D скелета

- Дополняем базу фрагментов наборов движений фигур из палочек (stick-figures) из MoCap
- После сопоставления, получаем псевдо-3д модель движения!

Исходная последовательность:

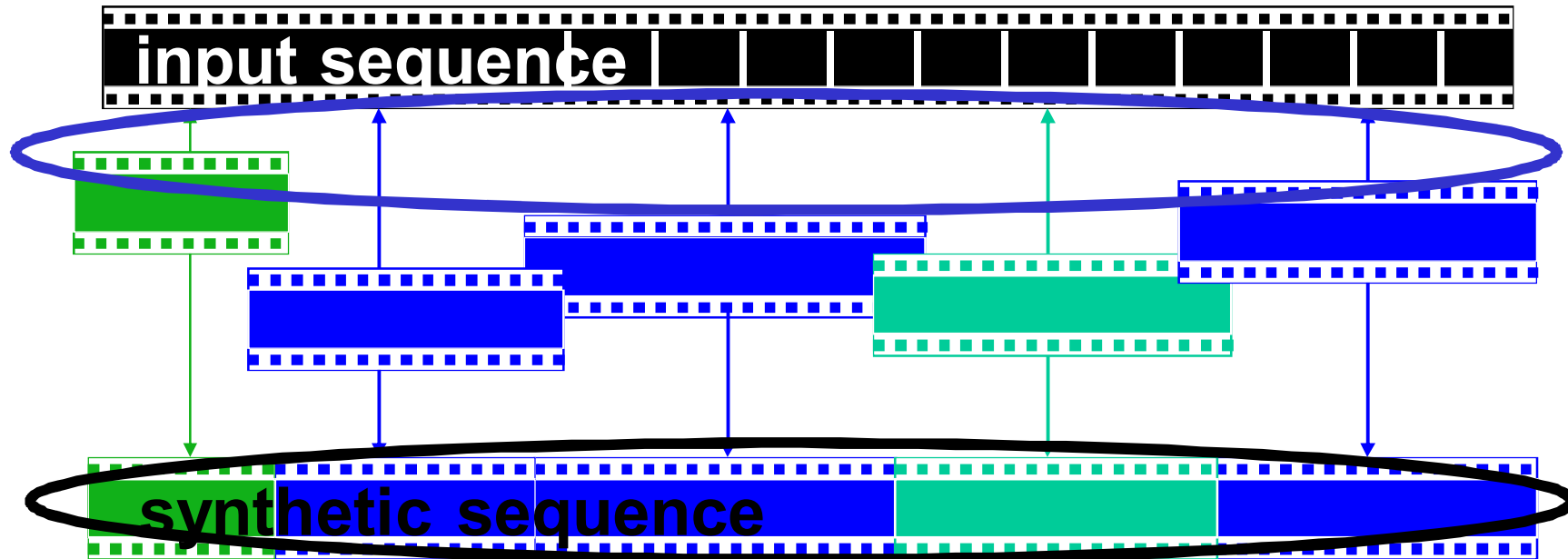


Перенос скелета:





“Do as I Do” синтез движения

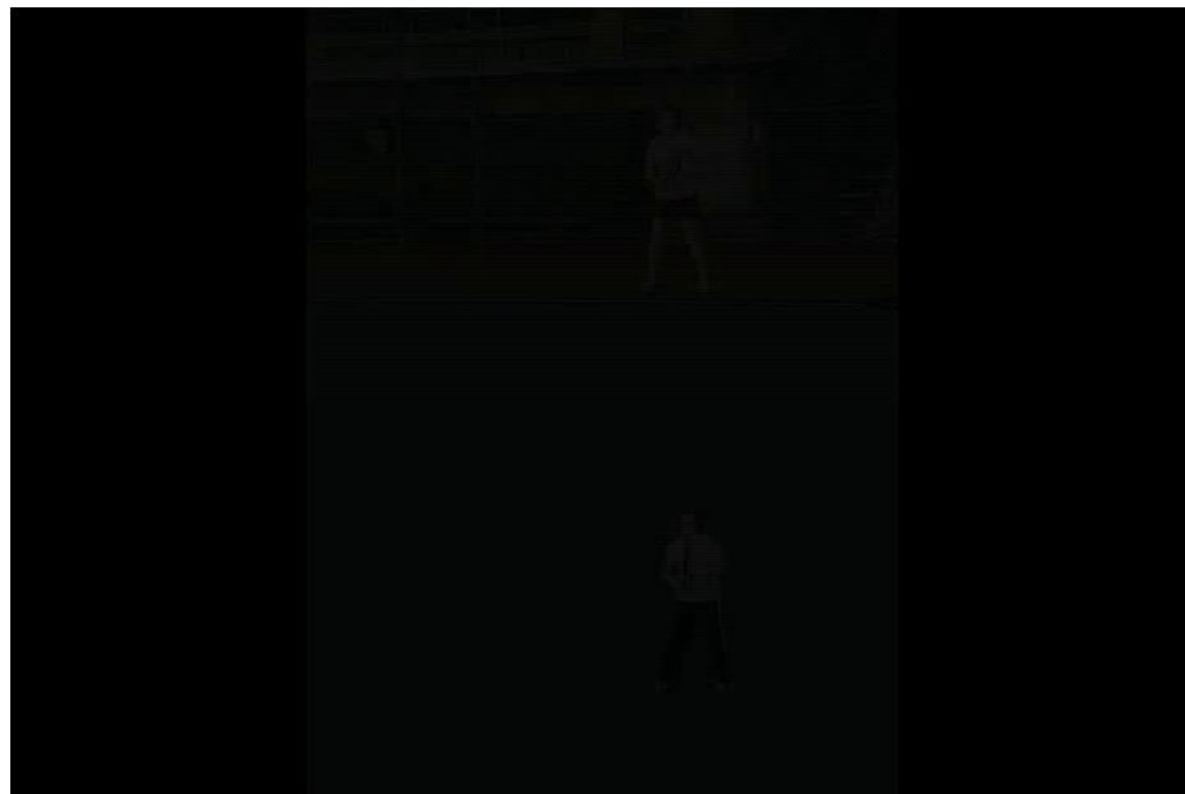


- Параметры качества синтеза:
 - Сходство движений между видео
 - Сходство внешности между видео
- Энергетическая формулировка, динамическое программирование



“Do as I Do”

Исходное движение



Результат

Исходный вид



3400 кадров



Замена персонажа





Особенности

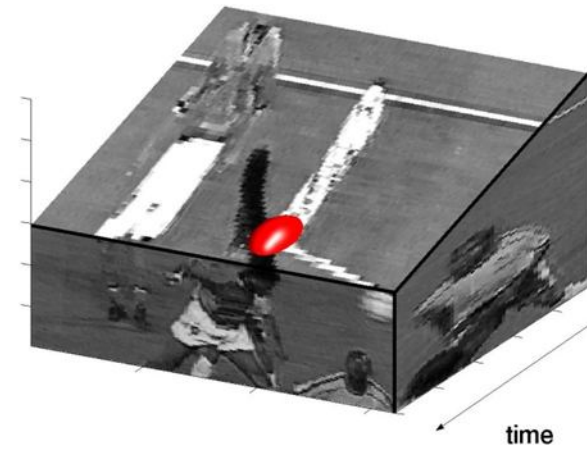
- Применим формализм особых точек на изображении к видео
 - Harris3D (2003)
 - Cuboid (2005)
 - Hessian (2008)



H. Wang, M. M. Ullah, A. Kläser, I. Laptev and C. Schmid; ["Evaluation of local spatio-temporal features for action recognition"](#) in *Proc. BMVC'2009*,



Harris3D



Ivan Laptev, INRIA

I. Laptev and T. Lindeberg; ["Space-Time Interest Points"](#), *ICCV'2003*



Harris3D

- Вычислим матрицу вторых моментов, аналогично детектору Harris:

$$\mu(\cdot; \sigma, \tau) = g(\cdot; s\sigma, s\tau) * (\nabla L(\cdot; \sigma, \tau)(\nabla L(\cdot; \sigma, \tau))^T)$$

Где g – ядро гаусса (сглаживание)

σ, τ - параметры масштаба

$$\mu = g(\cdot; \sigma_i^2, \tau_i^2) * \begin{pmatrix} L_x^2 & L_x L_y & L_x L_t \\ L_x L_y & L_y^2 & L_y L_t \\ L_x L_t & L_y L_t & L_t^2 \end{pmatrix},$$

- Функция отклика угла:

$$H = \det(\mu) - k \text{trace}^3(\mu) = \lambda_1 \lambda_2 \lambda_3 - k(\lambda_1 + \lambda_2 + \lambda_3)^3.$$



Выбор масштаба

Лапласиан:

$$\nabla_{norm}^2 L = L_{xx,norm} + L_{yy,norm} + L_{tt,norm},$$

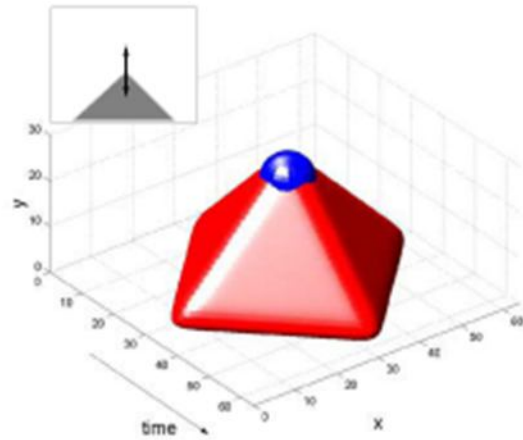
Нормализованный вариант:

$$\nabla_{norm}^2 L = \sigma^2 \tau^{1/2} (L_{xx} + L_{yy}) + \sigma \tau^{3/2} L_{tt}.$$

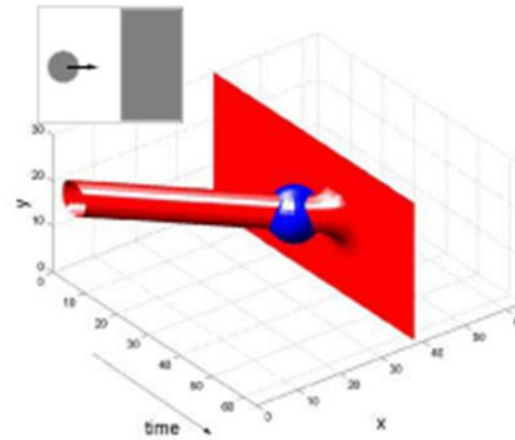
- Как при поиске инвариантных точек на изображениях
 - Ищем локальные максимумы на фиксированных масштабах
 - Уточняем масштаб
 - Уточняем положение в пространстве



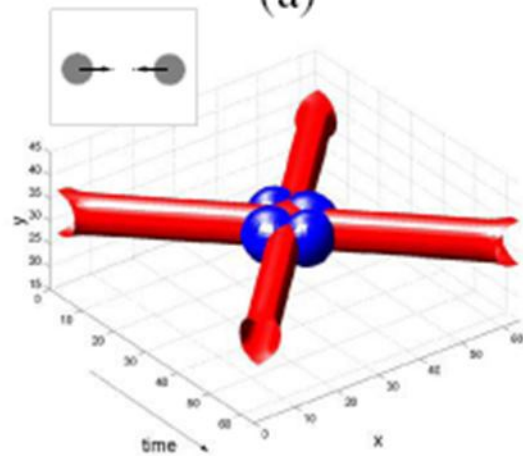
Синтетические примеры



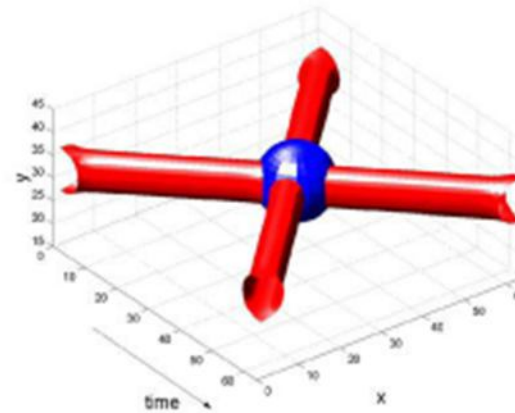
(a)



(b)



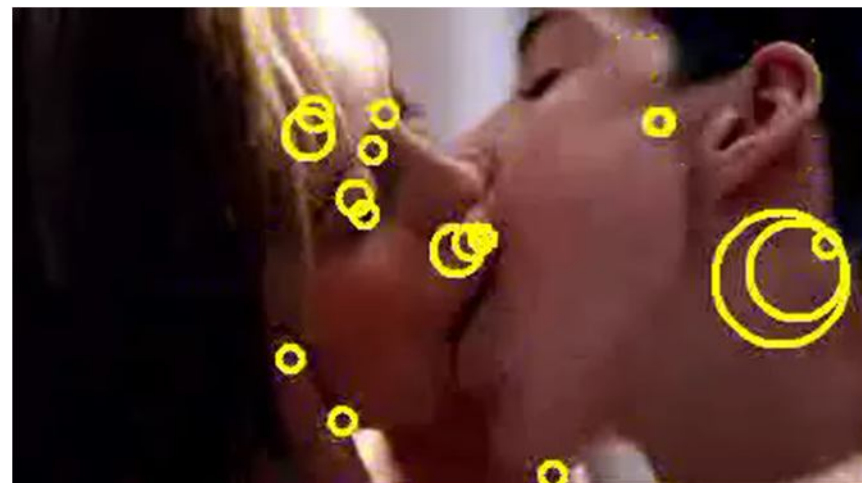
(c)



(d)



Примеры для кино





Cuboid

- Cuboid

- Функция отклика угла:

$$R = (I * g * h_{ev})^2 + (\dot{I} * \dot{g} * h_{od})^2$$

- Где g – фильтр Гаусса по изображению
 h – фильтр Габора

$$h_{ev}(t; \tau, \omega) = -\cos(2\pi t \omega) e^{-t^2/\tau^2} \quad \omega = 4/\tau$$

$$h_{od}(t; \tau, \omega) = -\sin(2\pi t \omega) e^{-t^2/\tau^2}$$

- Hessian

- Вычисление 3D матрицы гессиана

- P. Dollar, V. Rabaud, G. Cottrell, and S. Belongie. Behavior recognition via sparse spatio-temporal features. In VS-PETS, 2005.
- G. Willems, T. Tuytelaars, and L. Van Gool. An efficient dense and scale-invariant spatio-temporal interest point detector. In ECCV, 2008.



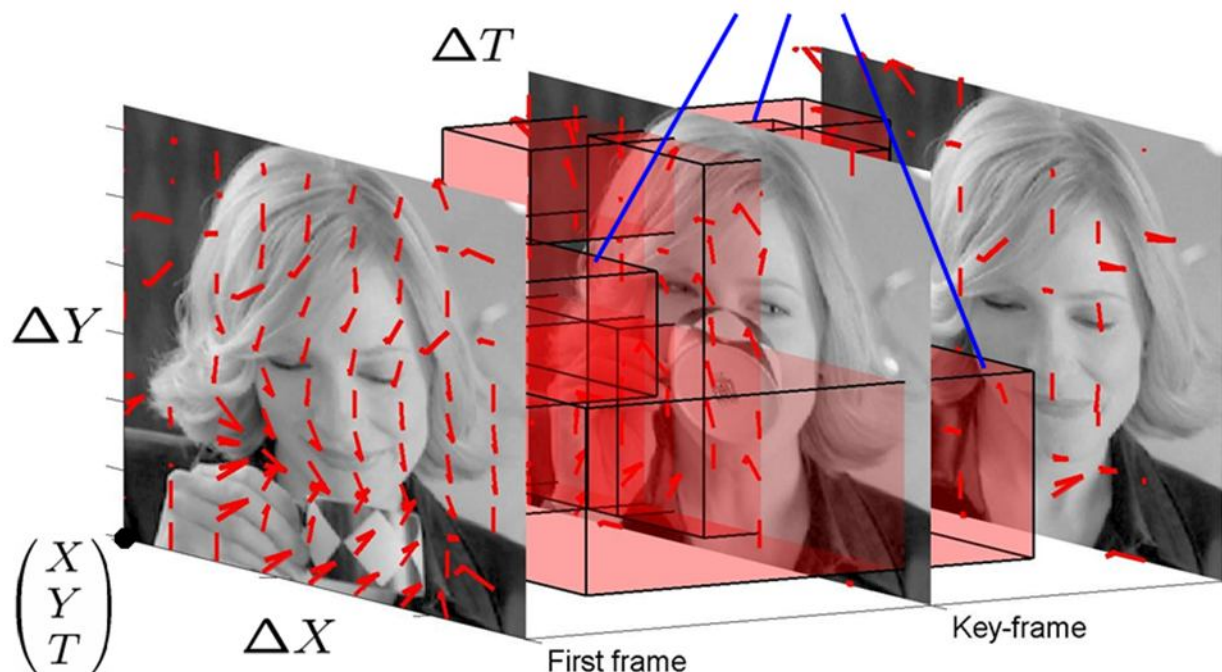
Код

- Ivan Laptev's code
 - <http://www.irisa.fr/vista/Equipe/People/Laptev/download.html#stip>
- Piotr's Image & Video Toolbox for Matlab
 - <http://vision.ucsd.edu/~pdollar/toolbox/doc/index.html>
 - Много полезных функций (k-means, meanshift, PCA, ferns, RBF, DOG-фильтры и т.д.)
- Hessian executables:
 - <http://homes.esat.kuleuven.be/~gwillems/research/Hes-STIP/>



Плотный выбор точек

- По аналогии с обычными изображениями, можно точки выбирать плотно на изображении, а не искать специальным детектором
- Обычно выбирают с 50% перекрытием





Дескрипторы

- Jet (2003)

- Вектор градиентов:

$$j = (L_x, L_y, L_t, L_{xx}, \dots, L_{ttt}).$$

- Расстояние Махаланобиса

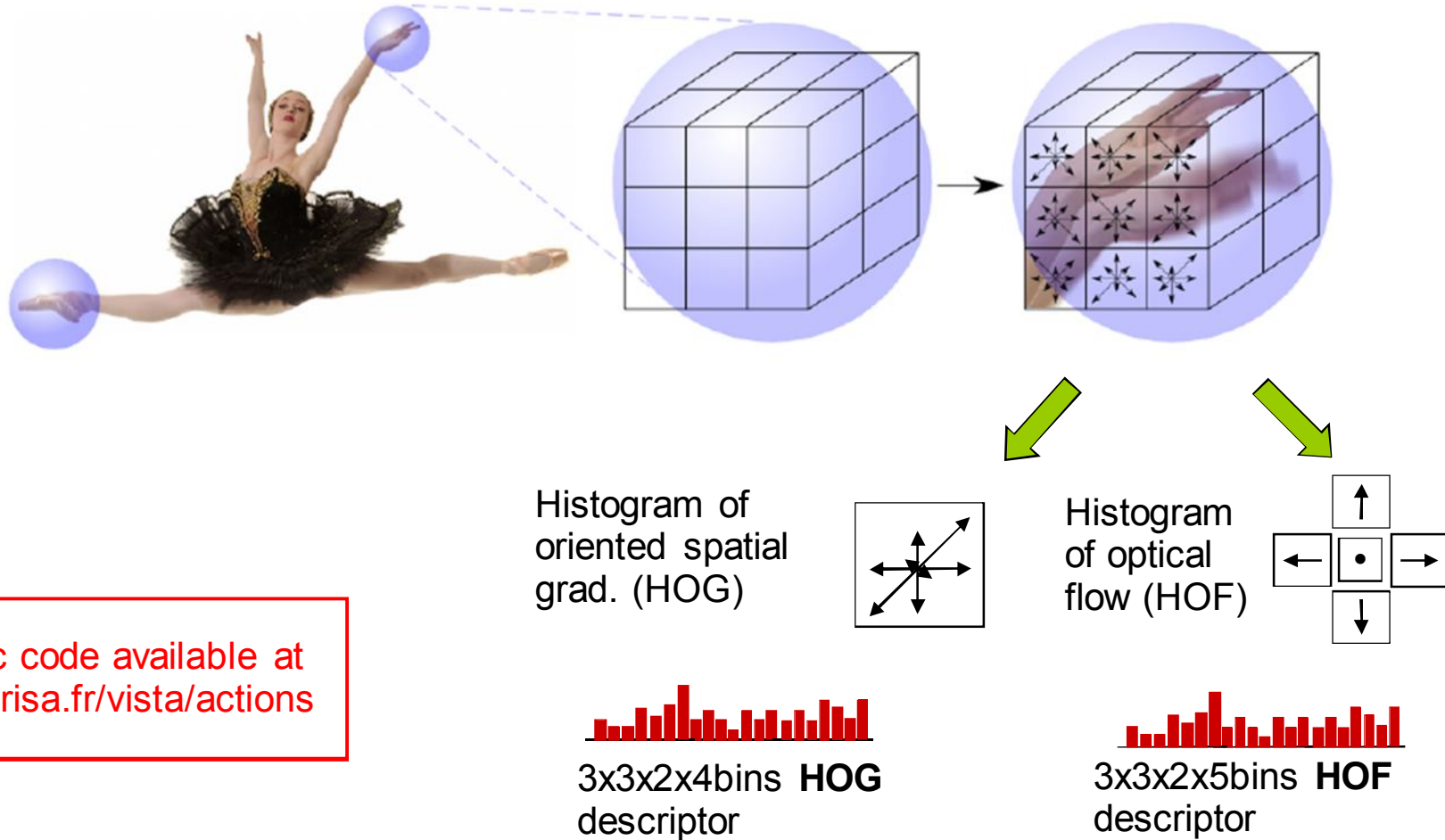
$$d^2(j_1, j_2) = (j_1 - j_2)\Sigma^{-1}(j_1 - j_2)^T$$

- Cuboid (2005)
- HOG/HOF (2007)
- HOG3D (2008)
- Extended SURF (2008)



HOG/HOF

Патчи по окрестностям





Дескрипторы

- Cuboid
 - Вычисление градиентов для каждого пикселя во фрагменте
 - PCA -> 100 первых компонент для дескриптора
- HOG3D
 - 3D аналог для HOG
 - Вычисляем градиенты в каждом пикселе объёма
 - Дискретизируем, сопоставляя сторонам правильного многоугольника
 - Разбиваем весь объем на ячейки
 - В каждой ячейке считаем гистограмму направлений



Тестовые базы

- Самые известные:
 - KTH Actions
 - UCF Sport Actions
 - Hollywood2

- C. Schüldt, I. Laptev, and B. Caputo. Recognizing human actions: A local SVM approach. In ICPR, 2004.
- M. Rodriguez, J. Ahmed, and M. Shah. Action mach: A spatio-temporal maximum average correlation height filter for action recognition. In CVPR, 2008
- M. Marszałek, I. Laptev, and C. Schmid. Actions in context. In CVPR, 2009



KTH Actions



Walking



Jogging



Running



Boxing



Waving



Clapping

- 25 человек, 6 действий, 4 сценария (внутри, снаружи, снаружи др. масштаба, снаружи в др. одежде)
- Всего 2391 фрагмент



UCF Sport Actions



Diving



Kicking



Walking



Skateboarding



High-Bar-Swinging

- 10 видов «спортивных» действий
- 150 видеофрагментов
- Можно увеличить с помощью «шевеления»/зеркального отображения



Hollywood2



AnswerPhone



GetOutCar



HandShake



HugPerson



Kiss

- 10 разных обыденных действий из 69 голливудских фильмов
- 1707 фрагментов



Эксперименты со STIP

- Построение мешка слов для STIP
 - Перенос силуэтов
- Классификация по мешку слов
 - SVM с ядром Хи-Квадрат

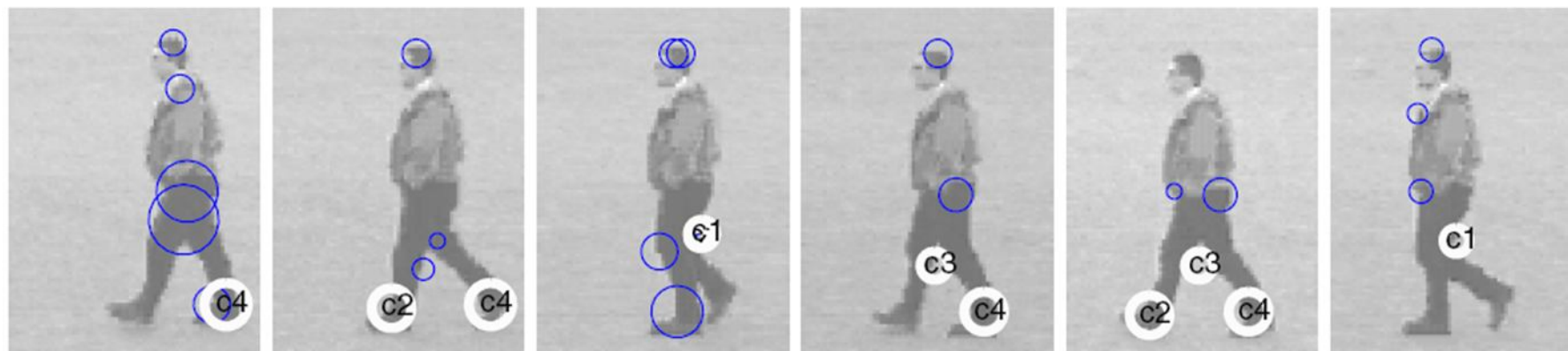
$$K(H_i, H_j) = \exp\left(-\frac{1}{2A} \sum_{n=1}^V \frac{(h_{in} - h_{jn})^2}{h_{in} + h_{jn}}\right)$$

- Сравнение разных детекторов / дескрипторов

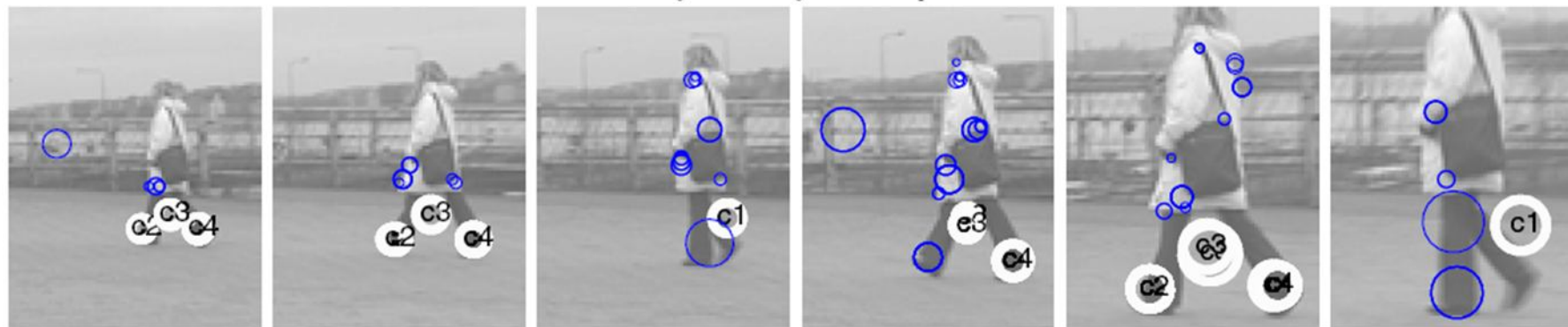


Классификация интересных точек

K-means clustering of interest points



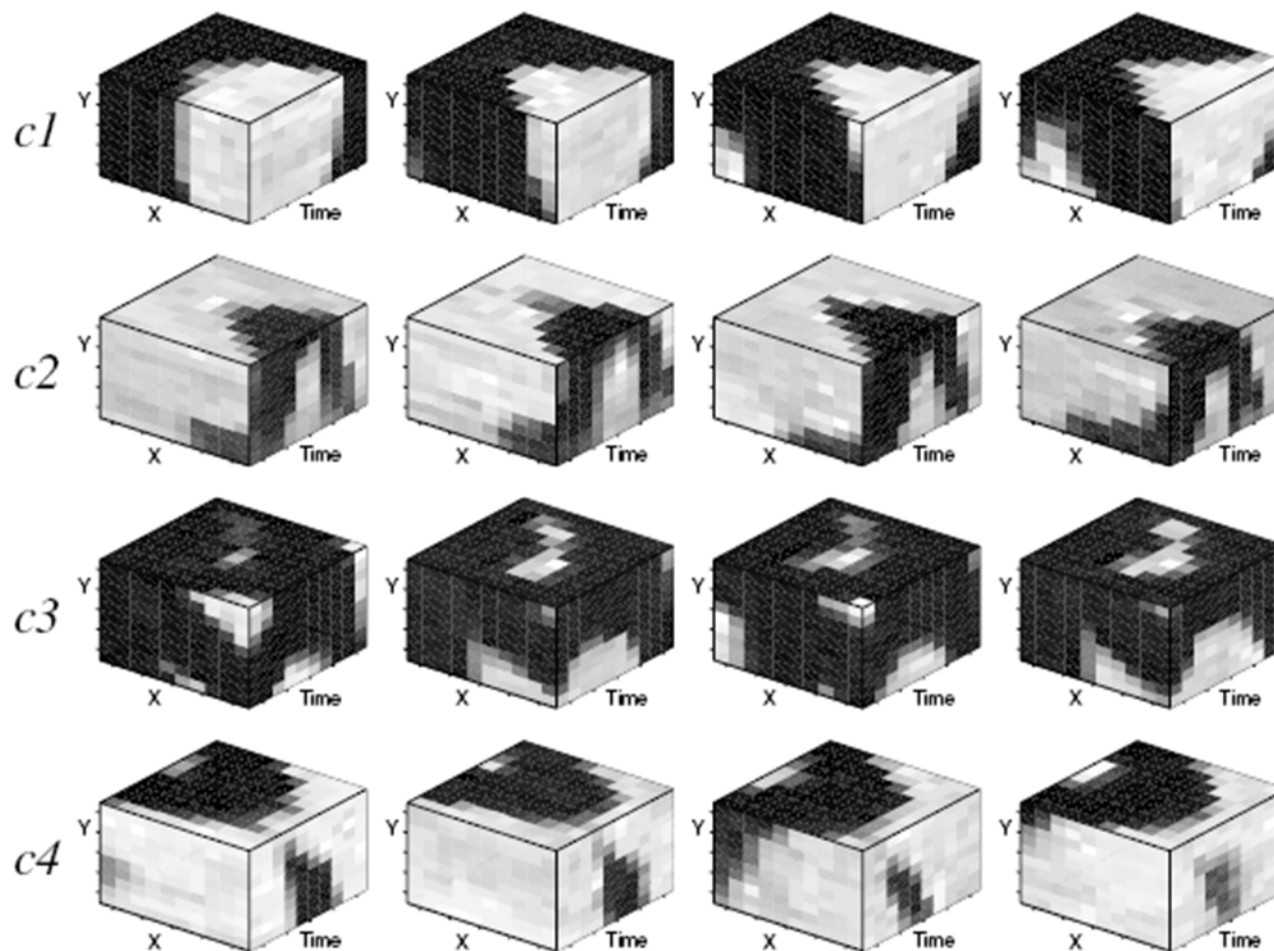
Classification of interest points



- Кластеризуем K - средними
- Квантуем особенности



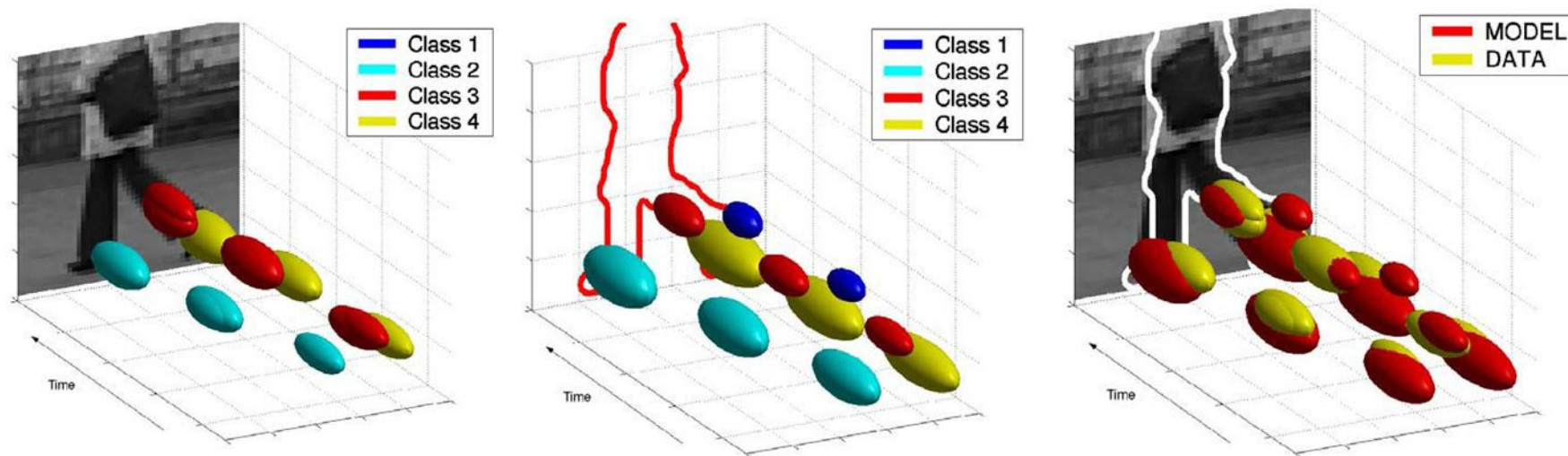
Примеры



- Примеры 4х самых часто встречающихся пространственно-временных особенностей



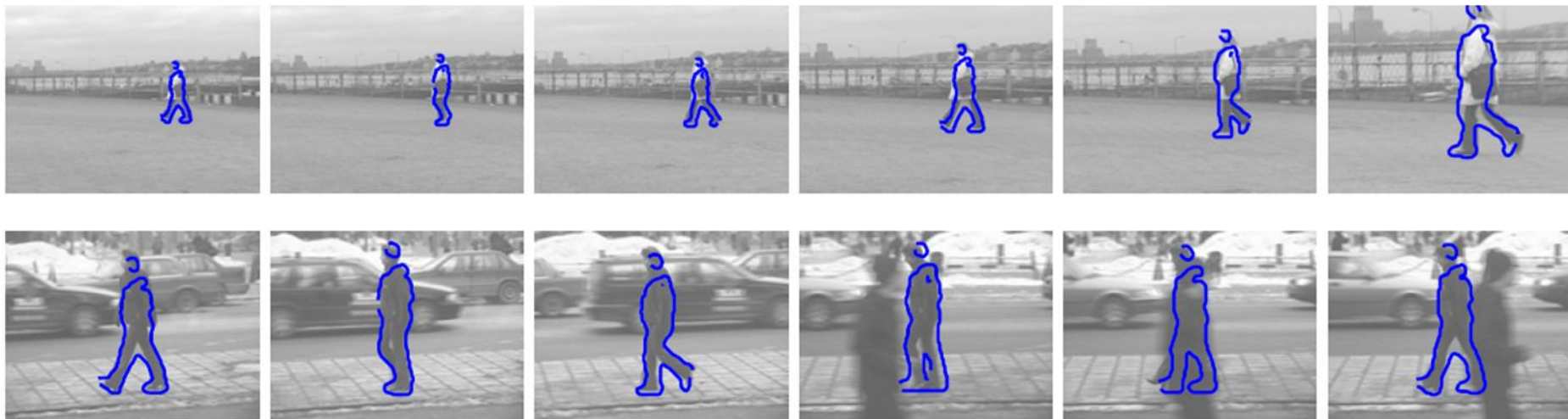
Перенос силуэтов



- Выделяем силуэты в тренировочных данных
- Выделяем STIP в видеофрагменте
- Находим ближайший набор STIP в базе
- Совмещаем и переносим силуэт



Пример





Сравнение

	HOG3D	HOG/HOF	HOG	HOF	Cuboids	ESURF
Harris3D	89.0%	91.8%	80.9%	92.1%	–	–
Cuboids	90.0%	88.7%	82.3%	88.2%	89.1%	–
Hessian	84.6%	88.7%	77.7%	88.6%	–	81.4%
Dense	85.3%	86.1%	79.0%	88.0%	–	–

База KTH Actions

	HOG3D	HOG/HOF	HOG	HOF	Cuboids	ESURF
Harris3D	79.7%	78.1%	71.4%	75.4%	–	–
Cuboids	82.9%	77.7%	72.7%	76.7%	76.6%	–
Hessian	79.0%	79.3%	66.0%	75.3%	–	77.3%
Dense	85.6%	81.6%	77.4%	82.6%	–	–

База UCF Sports Actions



Сравнение

	HOG3D	HOG/HOF	HOG	HOF	Cuboids	ESURF
Harris3D	43.7%	45.2%	32.8%	43.3%	–	–
Cuboids	45.7%	46.2%	39.4%	42.9%	45.0%	–
Hessian	41.3%	46.0%	36.2%	43.0%	–	38.2%
Dense	45.3%	47.4%	39.4%	45.5%	–	–

База Hollywood2

	HOG3D	HOG/HOF	HOG	HOF
reference	43.7%	45.2%	32.8%	43.3%
w/o shot boundary features	43.6%	45.7%	35.3%	43.4%
full resolution videos	45.8%	47.6%	39.7%	43.9%

База Hollywood2 – разное разрешение



Сравнение

Spatial Size	Hollywood2				UCF			
	HOG3D	HOG/HOF	HOG	HOF	HOG3D	HOG/HOF	HOG	HOF
18 × 18	45.3%	47.4%	39.4%	45.5%	85.6%	81.6%	77.4%	82.6%
24 × 24	45.1%	47.7%	39.4%	45.8%	82.0%	81.4%	76.8%	84.0%
36 × 36	44.8%	47.3%	36.8%	45.6%	78.6%	79.1%	76.5%	82.4%
48 × 48	42.8%	46.5%	35.8%	45.5%	78.8%	78.6%	73.9%	79.0%
72 × 72	39.7%	45.2%	32.2%	43.0%	77.8%	78.8%	69.6%	78.4%

Размеры окрестностей

	Harris3D + HOG/HOF	Hessian + ESURF	Cuboid Detector + Descriptor	Dense + HOG3D	Dense + HOG/HOF
Frames/second	1.6	4.6	0.9	0.8	1.2
Features/frame	31	19	44	643	643

Оценка скорости



Распознавание действий в кино



I. Laptev and P. Pérez. ["Retrieving actions in movies"](#) ICCV 2007



Проблемы

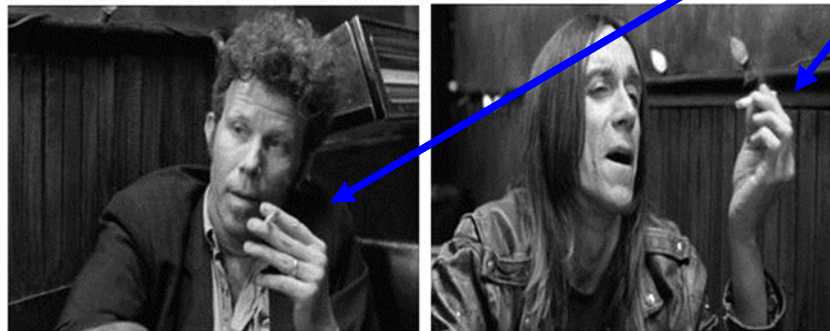
Пить



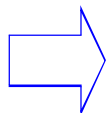
Разница в форме

Разница в движении

Курить



Оба действия похожи по форме (поза человека) и по движению (движение руки)



Вариабельность больше, чем для изображений
Но движение дает дополнительную информацию



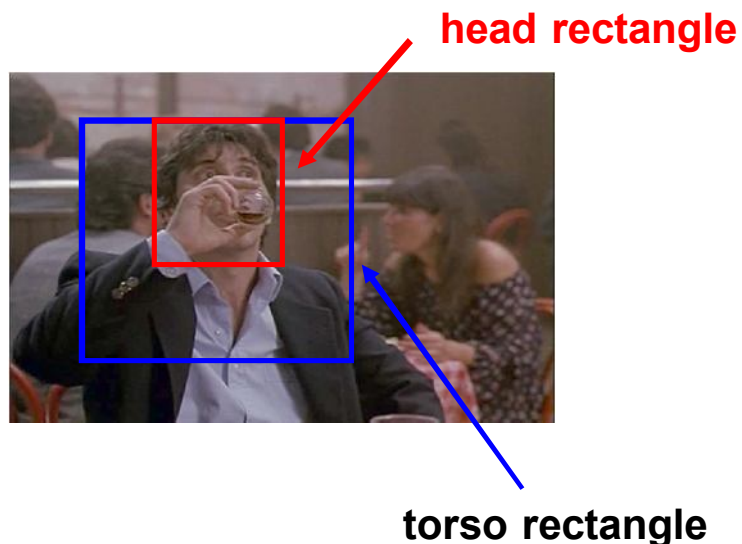
Тестовая база

- В этой работе впервые была сделана попытка распознавать действия в фильмах: “Coffee and Cigarettes”; “Sea of Love”
- Первая размеченная база действий из кинофильмов

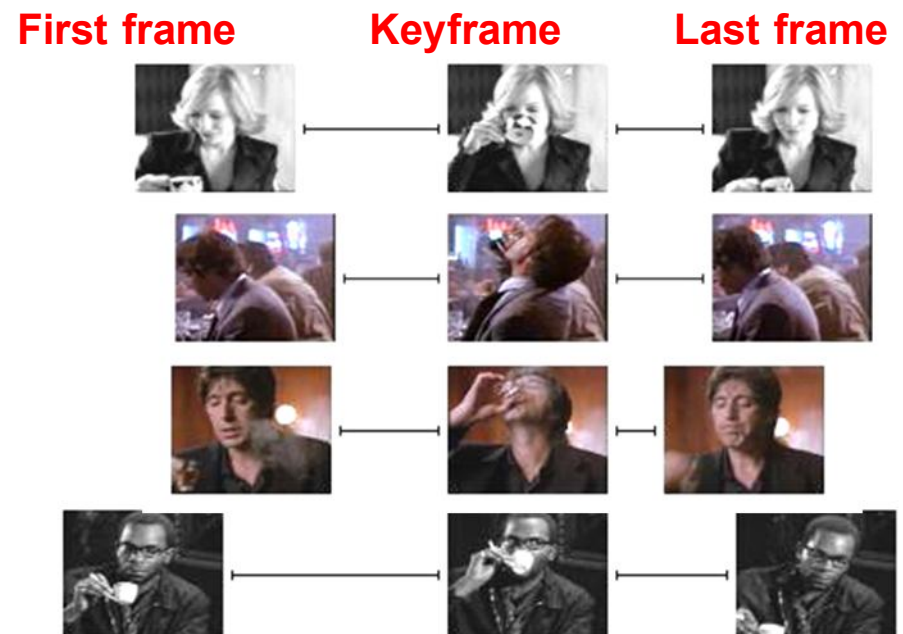
“Пить”: 159 размеченных примеров

“Курить”: 149 размеченных примеров

Пространственная разметка



Временная разметка





Примеры действия «ПИТЬ»

training samples

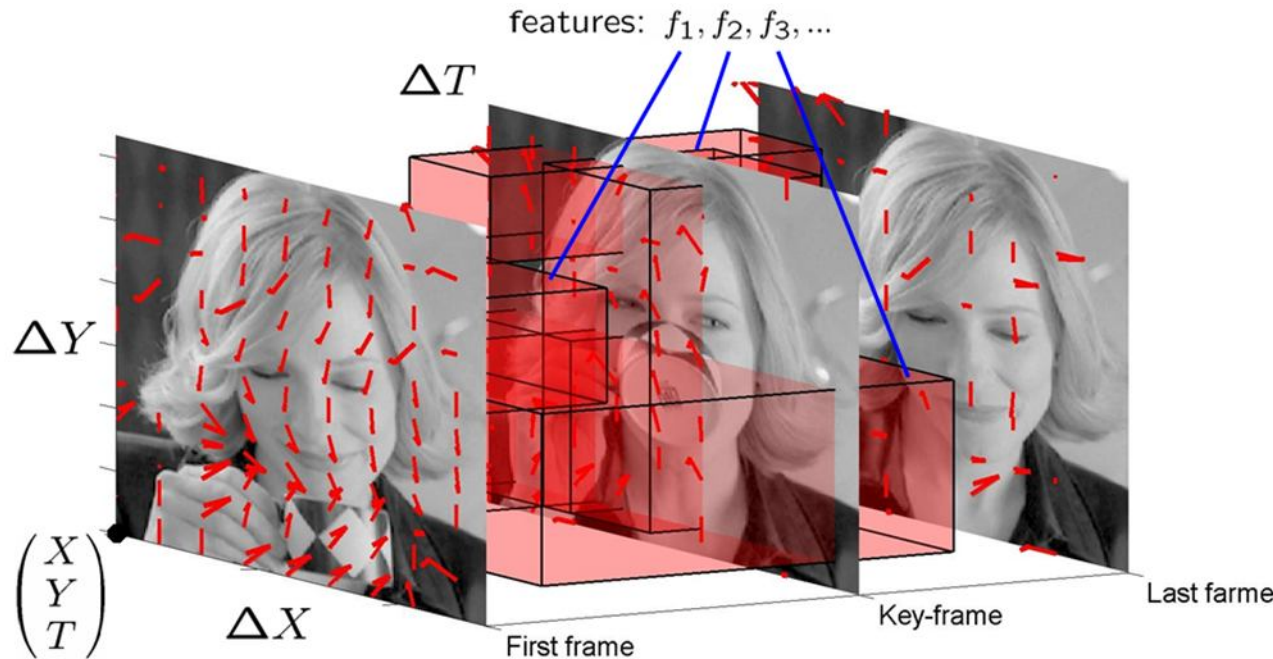


test samples

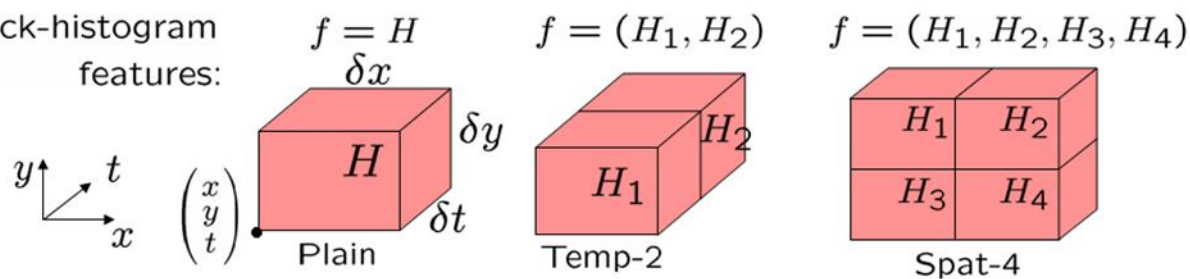




Признаки



block-histogram features:

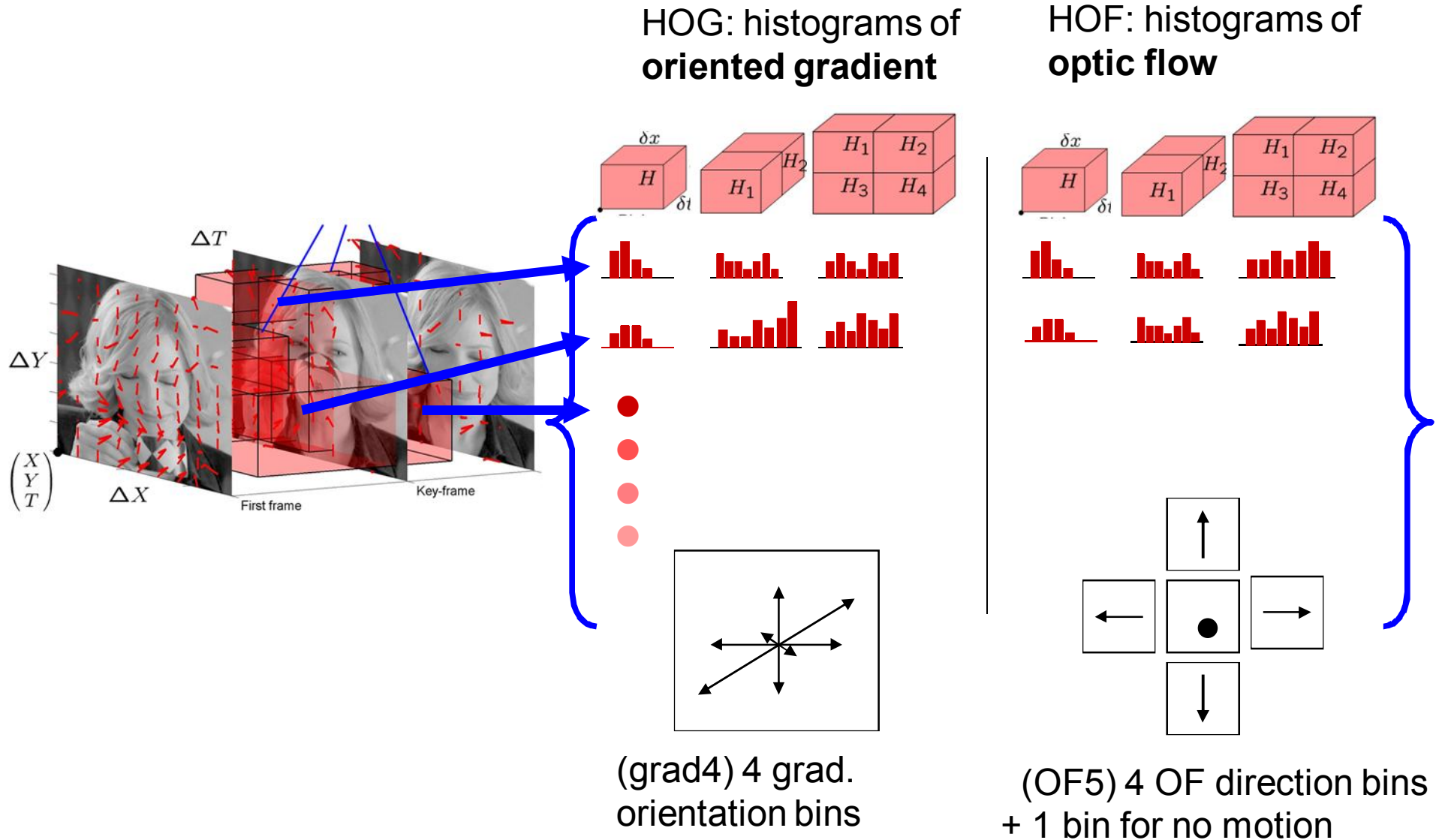


- Весь объем разбиваем на ячейки, всего 14x14x8
- Каждую ячейку нормализуем до 5x5x5 пикселей
- На ячейках можно определить большой набор признаков (features)

- Features – $(x, y, t, dx, dy, dt, \beta, \psi)$, где (x, y, t) – начало блока, dx, dy, dt – размер, β – вид блока, ψ – тип признака



Признаки





Классификация

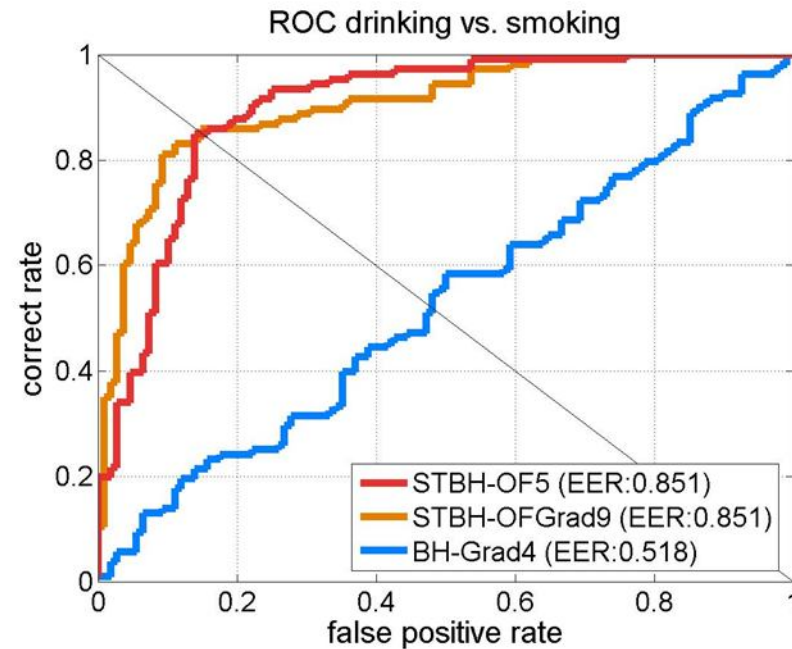
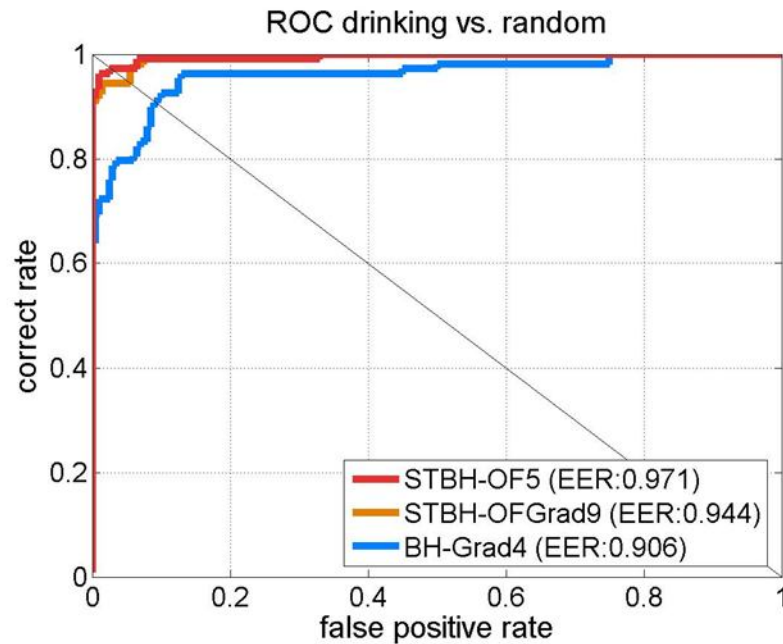
- Распознавание объёмов
 - Всего порядка $\sim 10^7$ разных признаков можно определить (очень много)
 - Используем AdaBoost
 - На каждом шаге выбираем 10^3 признаков случайным образом
- Можем аналогично распознавать действие по статичным кадрам (Keyframe detector)
 - Признаки HOG, AdaBoost



Результаты классификации действий



Random motion patterns



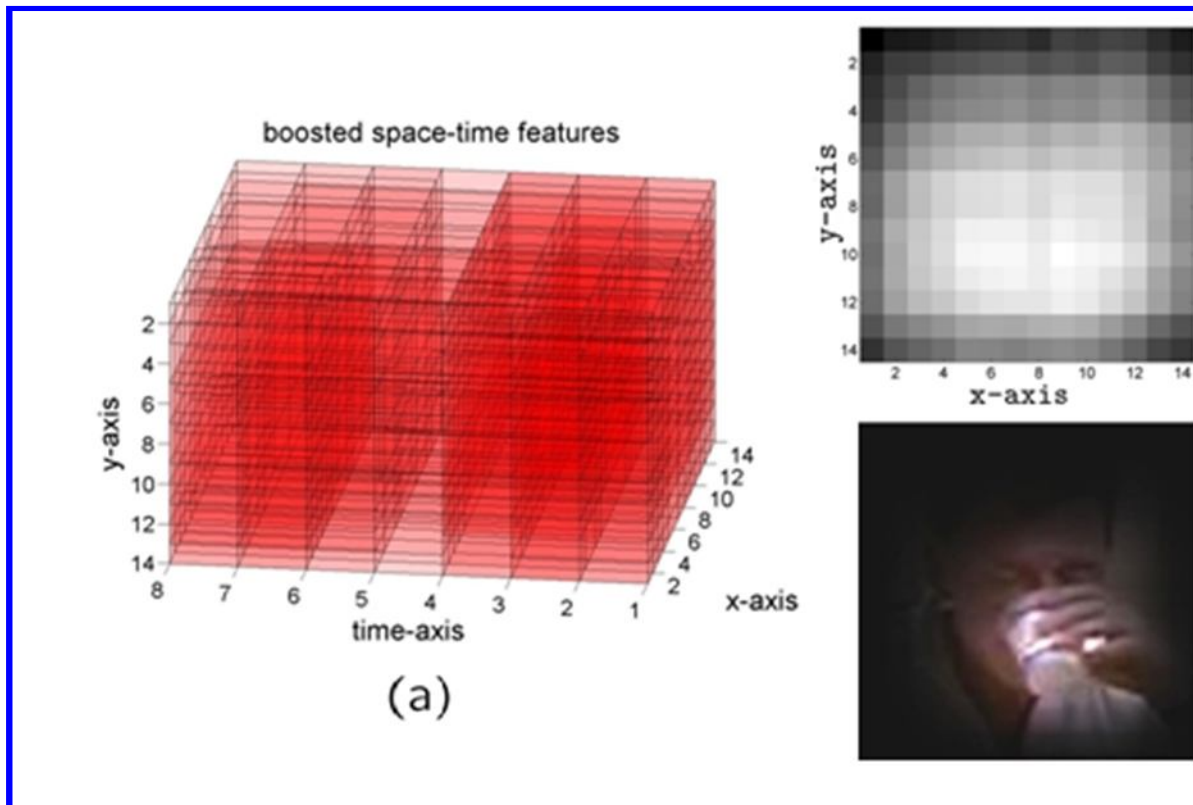
- Дополнительная информация о форме не улучшает работу пространственно-временного классификатора



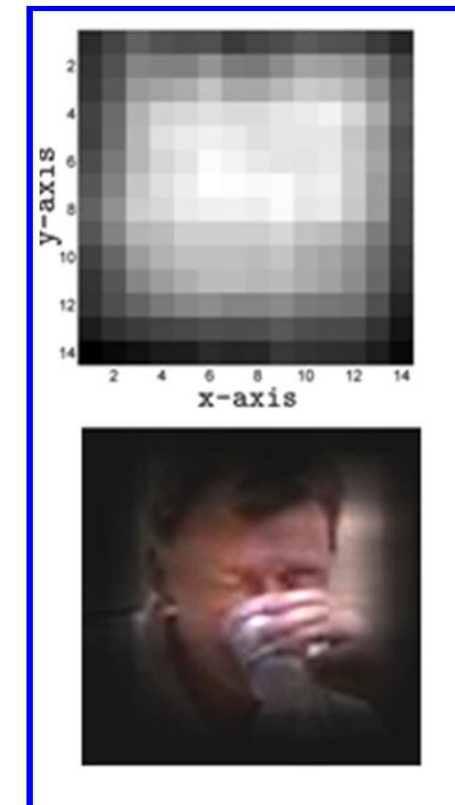
Свойства классификатора

- Сравниваем используемые особенности:
 - Space-time классификатор (HOF features)
 - Статичный классификатор ключевых кадров (HOG features)

Выход: суммарные карты признаков



Space-time classifier



Static keyframe classifier



Сравнение со STIP

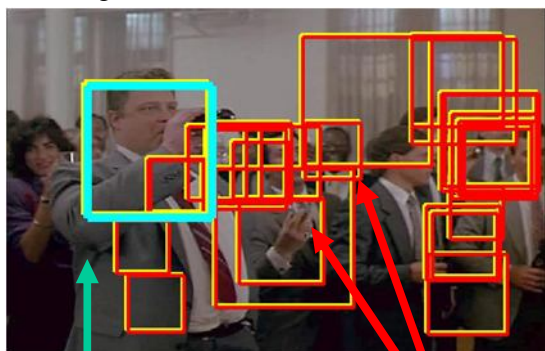




Keyframe priming

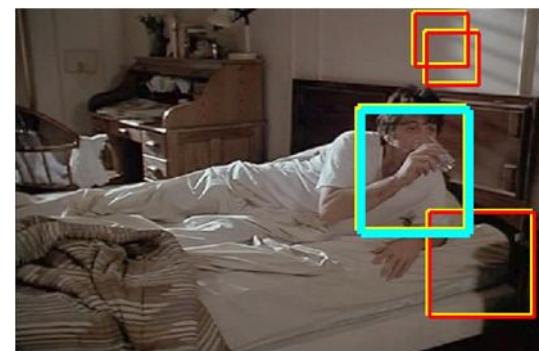
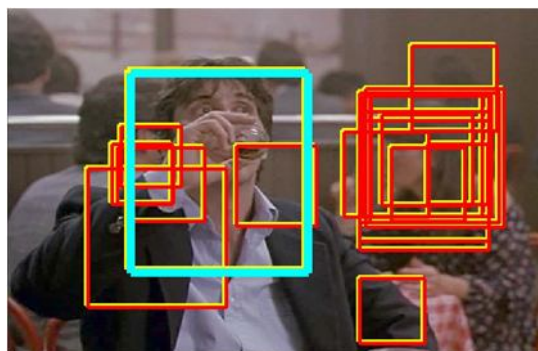
Идея: Будем распознавать только там, где нашел keyframe-детектор

Обучение

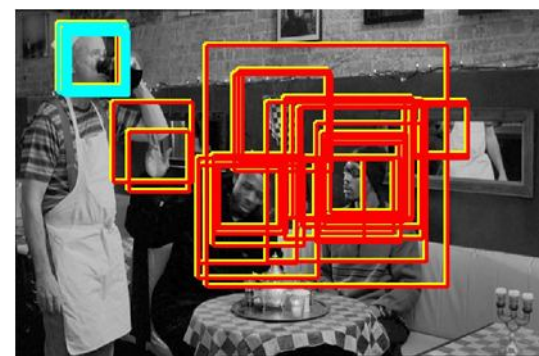
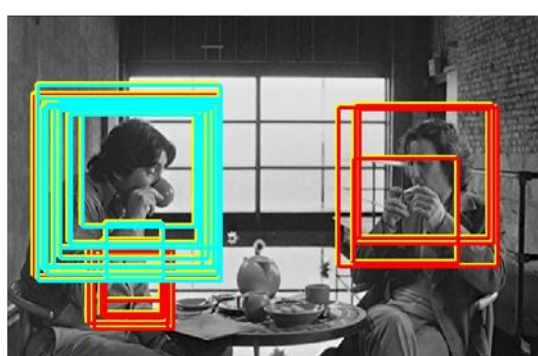
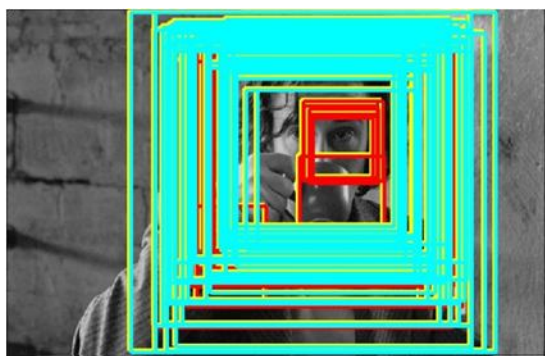


Positive training sample

Negative training samples



Тестирование





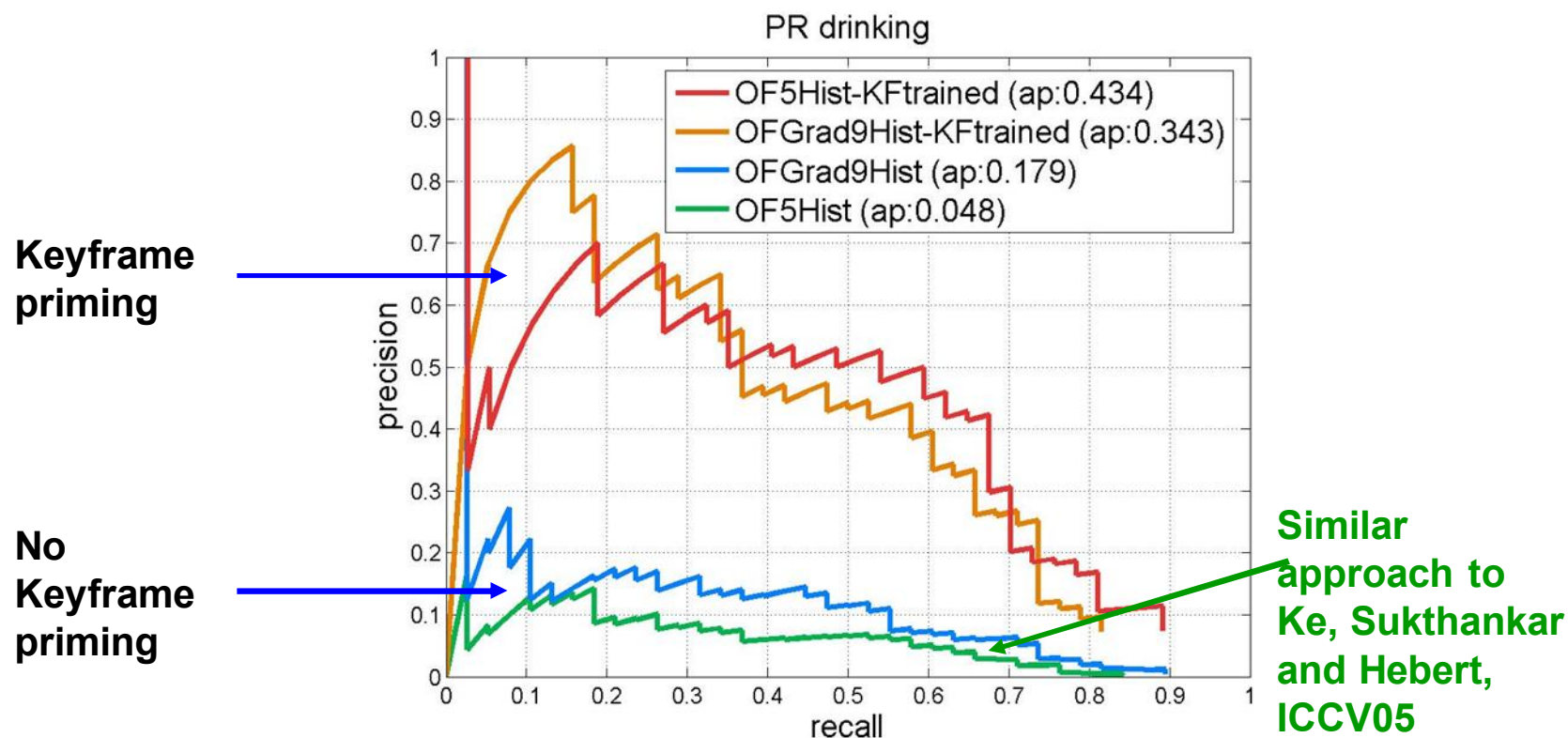
Поиск действий

Тестовый набор:

- 25мин из “Coffee and Cigarettes” с 38 действиями «пить»
- Нет перекрытия с обучающей выборкой по сценам и людям

Обнаружение:

- поиск по всевозможных пространственно-временным положениям и диапазонам (длинам фрагментов)





Примеры работы





Распознавание действий в кино

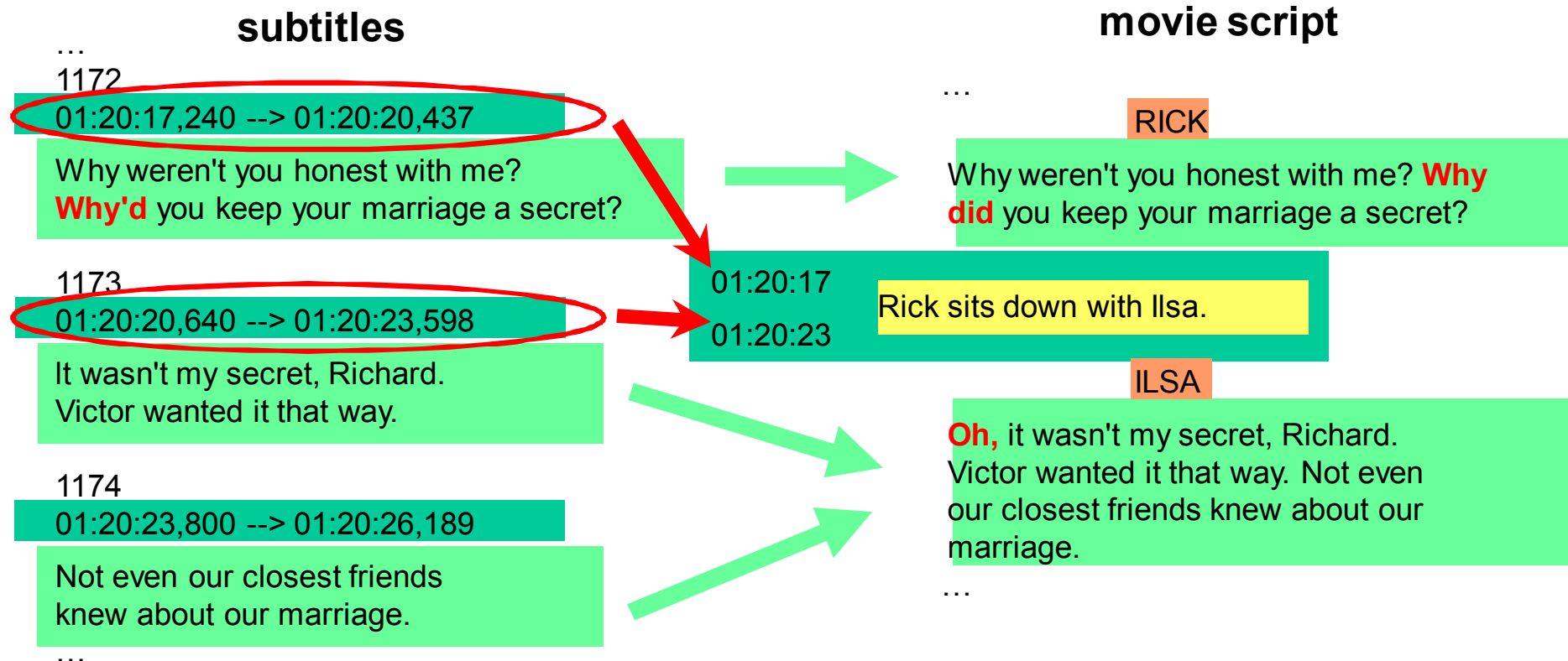


I. Laptev, M. Marszałek, C. Schmid and B. Rozenfeld; ["Learning realistic human actions from movies"](#) CVPR 2008



Аннотация по сценарию

- Сценарии есть для более 500 фильмов
www.dailyscript.com, www.movie-page.com, www.weeklyscript.com ...
- Субтитры (со временем) есть почти для всех фильмов
- Можем сопоставить на основе этой информации

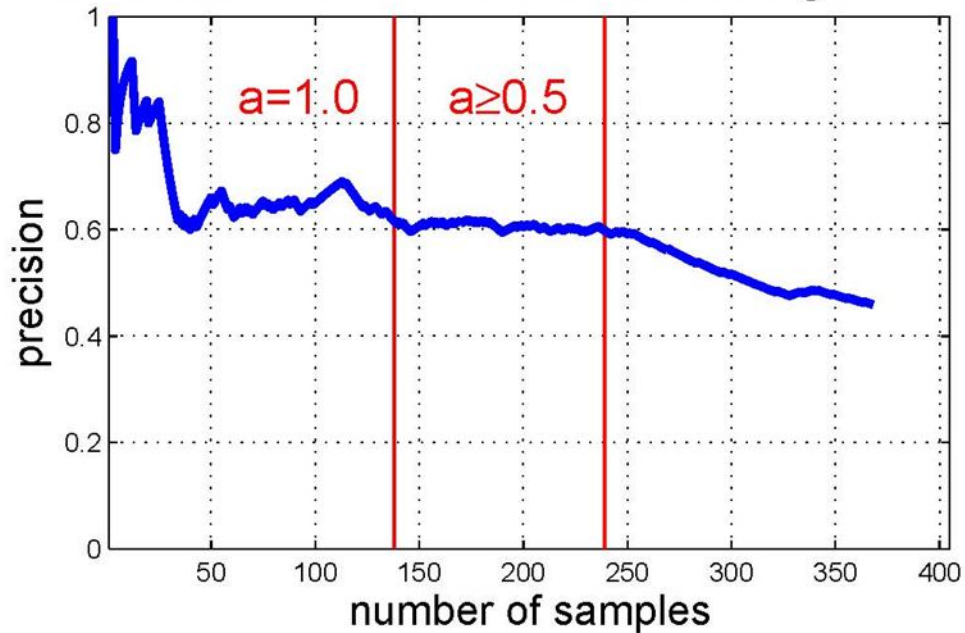




Оценка качества

- Аннотация действий текстом
- Автоматическое сопоставление сценария и видео
- Необходимо проверять соответствие

Evaluation of retrieved actions on visual ground truth



a: - качество сопоставления

Пример ошибки



A black car pulls up, two army officers get out.



Извлечение действий из сценария

- Высокая вариабельность описаний в тексте:

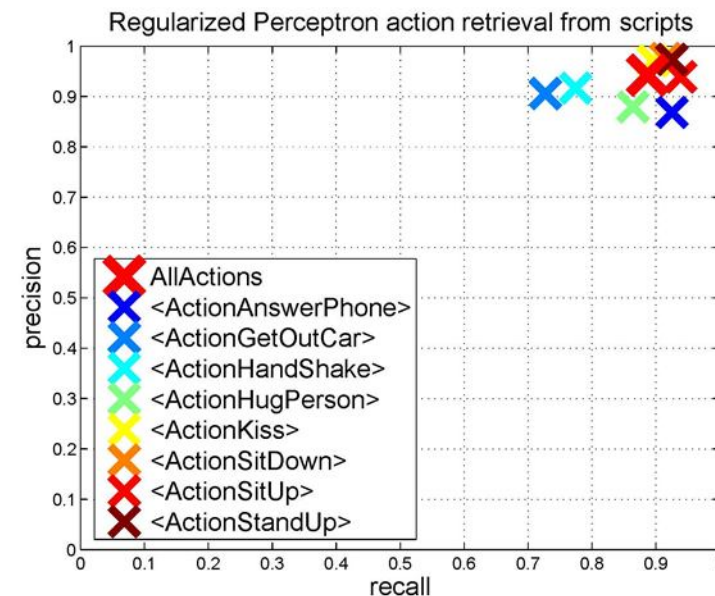
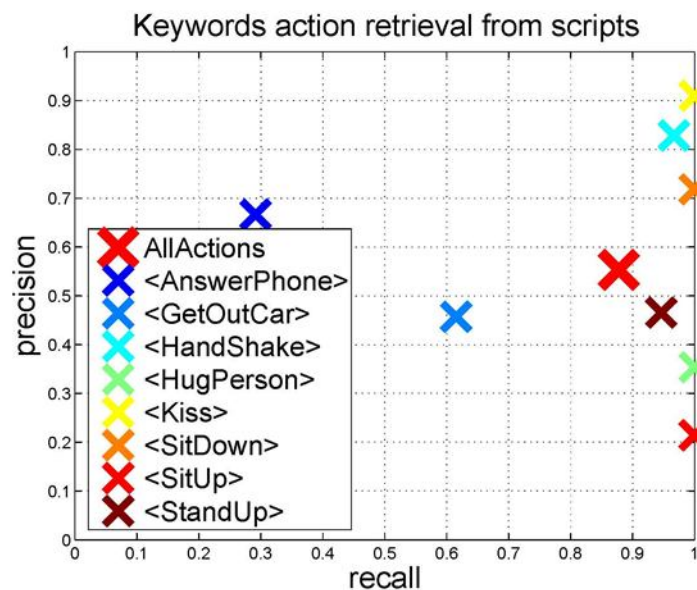
GetOutCar
действий

“... Will gets out of the Chevrolet. ...”
“... Erin exits her new truck...”

Потенциальн
ая ошибка:

“...About to sit down, he freezes...”

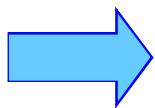
- => Классификация текста с учителем





Набор данных из кино

		<AnswerPhone>	<GetOutCar>	<HandShake>	<HugPerson>	<Kiss>	<SitDown>	<SitUp>	<StandUp>	Total
12 movies	False	5	6	9	7	10	21	5	33	96
	Correct	15	6	14	8	34	30	7	29	143
	All	20	12	23	15	44	51	12	62	239
automatically labeled training set										
20 different movies		22	13	20	22	49	47	11	48	232
		23	13	19	22	51	30	10	49	217
test set										



- Обучить классификатор по автоматической разметке
- Сравнить работы с ручной разметкой



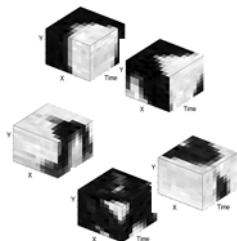
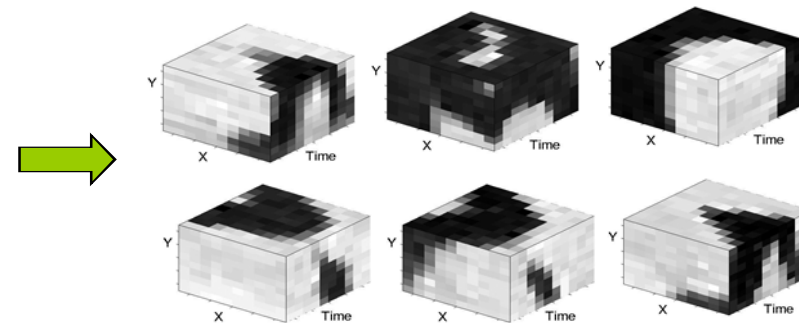
Схем метода

Мешок STIP + многоканальный SVM

[Schuldt'04, Niebles'06, Zhang'07]



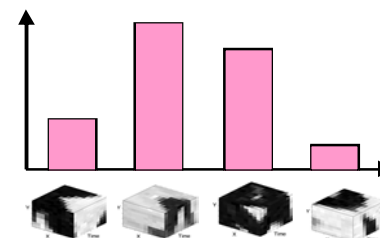
Набор STIP-патчей



HOG & HOF
patch
descriptors



Histogram of visual words



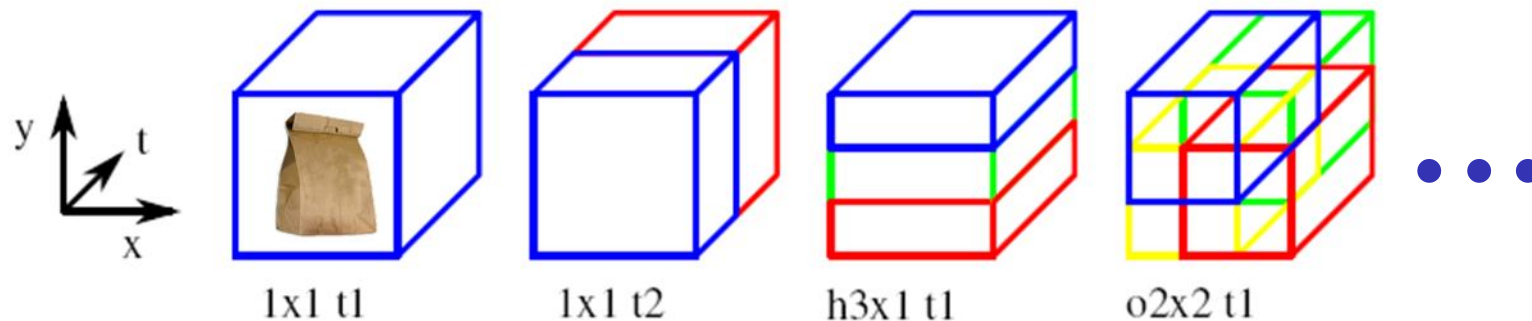
Multi-channel
SVM
Classifier



«Мешок слов»

Используем разные решетки

- По пространству
 - 1x1 (стандартный мешок)
 - 2x2, o2x2 (50% перекрытие)
 - h3x1 (горизонтальный), v 1x3 (вертикальный)
 - 3x3
- По времени:
 - t1 (стандартный мешок), t2, t3





Многоканальное ядро

Используют SVM с многоканальным хи-квадрат ядром для классификации:

$$K(H_i, H_j) = \exp \left(- \sum_{c \in \mathcal{C}} \frac{1}{A_c} D_c(H_i, H_j) \right)$$

- Канал c – это комбинация детектора, дескриптора и вида сетки
- $D_c(H_i, H_j)$ – расстояние хи-квадрат между гистограммами
- A_c среднее расстояние между всеми обучающими примерами
- Выбор наилучшей комбинации каналов осуществляется жадным методом



Объединяем каналы

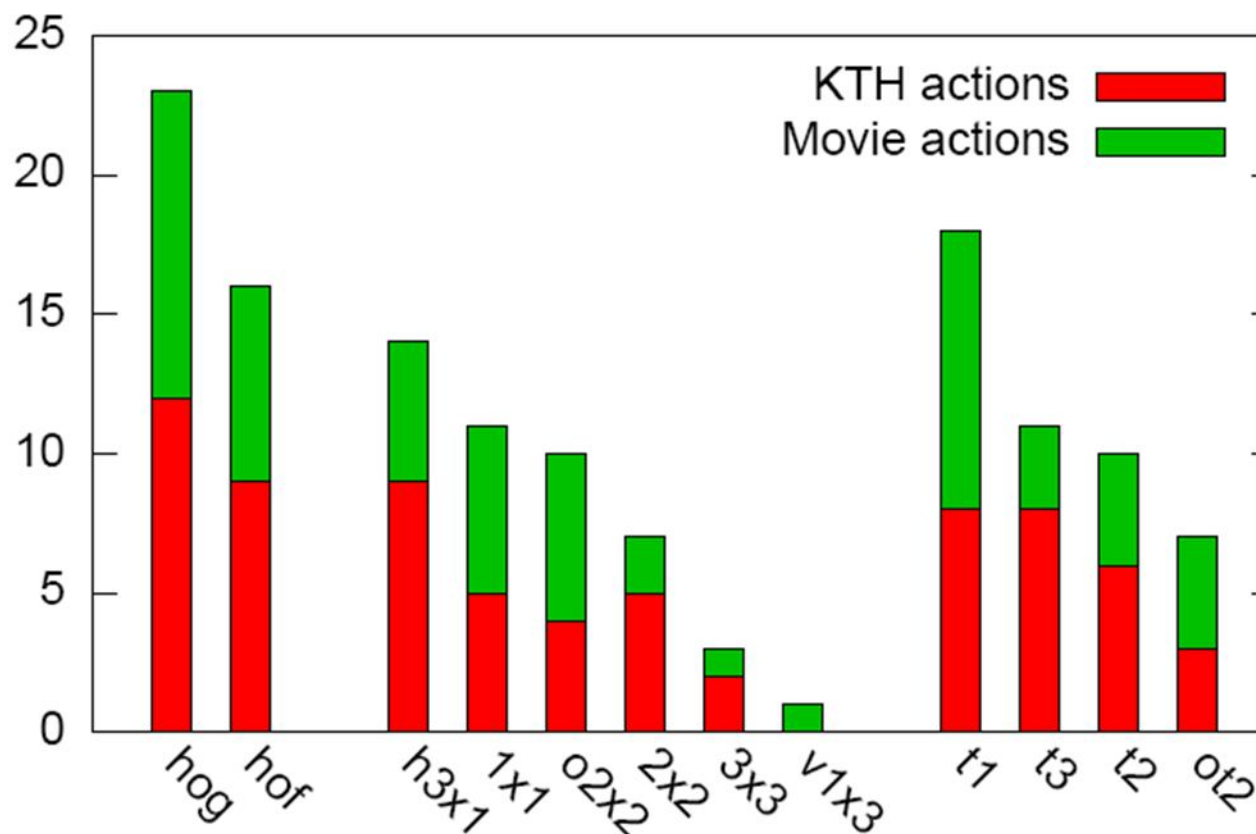
Task	HoG BoF	HoF BoF	Best chan.	Best comb.
KTH multi-class	81.6%	89.7%	91.1%	91.8%
Action AnswerPhone	13.4%	24.6%	26.7%	32.1%
Action GetOutCar	21.9%	14.9%	22.5%	41.5%
Action HandShake	18.6%	12.1%	23.7%	32.3%
Action HugPerson	29.1%	17.4%	34.9%	40.6%
Action Kiss	52.0%	36.5%	52.0%	53.3%
Action SitDown	29.1%	20.7%	37.8%	38.6%
Action SitUp	6.5%	5.7%	15.2%	18.2%
Action StandUp	45.4%	40.0%	45.4%	50.5%

Сравнение разных комбинаций

- • Разные сетки и комбинации каналов обеспечивают прирост качества



Сравнение сеток



Число использований каждого канала в наилучших комбинациях



Сравнение

Walking

Jogging

Running

Boxing

Waving

Clapping





Сравнение

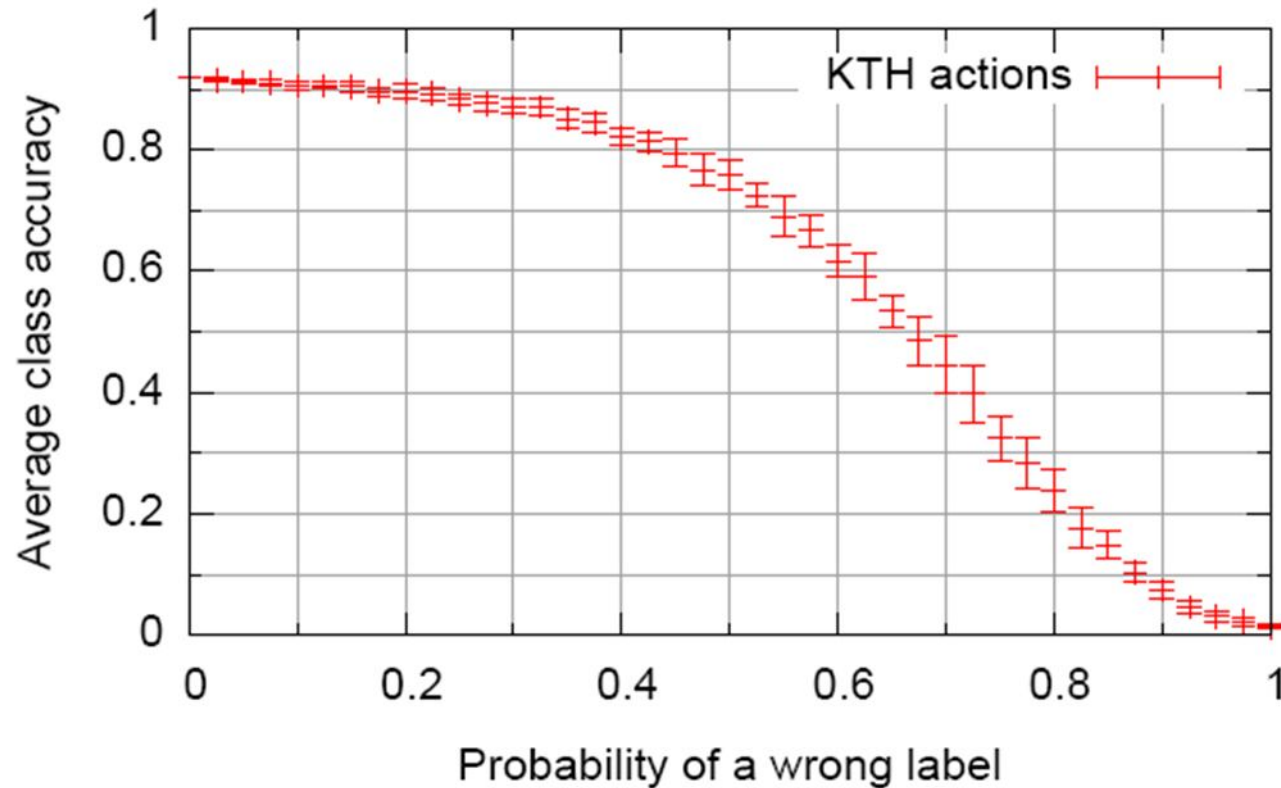
Method	Schuldt et al.	Niebles et al.	Wong et al.	Nowozin et al.	ours
Accuracy	71.7%	81.5%	86.7%	87.0%	

Асредние точности на базе KTH

	Walking	Jogging	Running	Boxing	Waving	Clapping
Walking	.99	.01	.00	.00	.00	.00
Jogging	.04	.89	.07	.00	.00	.00
Running	.01	.19	.80	.00	.00	.00
Boxing	.00	.00	.00	.97	.00	.03
Waving	.00	.00	.00	.00	.91	.09
Clapping	.00	.00	.00	.05	.00	.95



Устойчивость к шуму



Деградация качества в присутствии неправильных меток

- До 20% неправильных – незначительное снижение качества
- При 40% - снижение качества на 10%



Распознавание в кино

	Kiss	SitDown	SitUp	StandUp
TP				
TN				
FP				
FN				

Примеры работы на данных из кинофильмов



Распознавание в кино

	AnswerPhone	GetOutCar	HandShake	HugPerson
TP				
TN				
FP				
FN				

Примеры работы на данных из кинофильмов



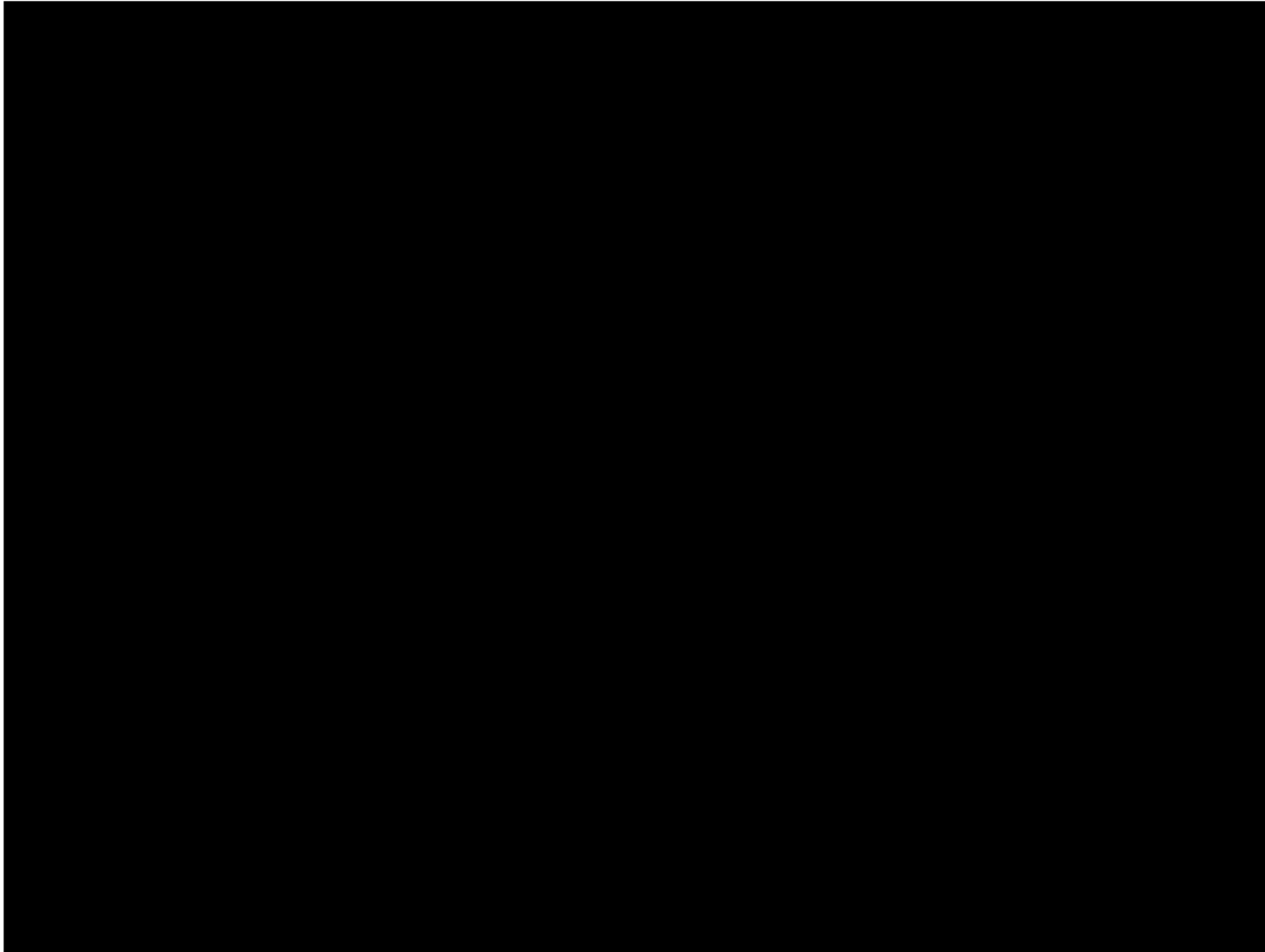
Распознавание в кино

	Clean	Automatic	Chance
AnswerPhone	32.1%	16.4%	10.6%
GetOutCar	41.5%	16.4%	6.0%
HandShake	32.3%	9.9%	8.8%
HugPerson	40.6%	26.8%	10.1%
Kiss	53.3%	45.1%	23.5%
SitDown	38.6%	24.8%	13.8%
SitUp	18.2%	10.4%	4.6%
StandUp	50.5%	33.6%	22.6%

Сравнение по средней точности для каждого класса при автоматической и чистой (ручной) разметке данных



Пример





Резюме лекции

- Оптический поток – основной источник информации о движении в сцене, один из базовых инструментов для компьютерного зрения
- Для распознавания видео мы можем использовать те же подходы, что и к изображению, но переводя их в трёхмерные пространственно-временной объём
 - Скользящее окно
 - Особенности, детекторы и дескрипторы
 - Мешок слов и методы классификации
- Данные и их объём является общей проблемой. Нужно использовать «слабую» разметку.